
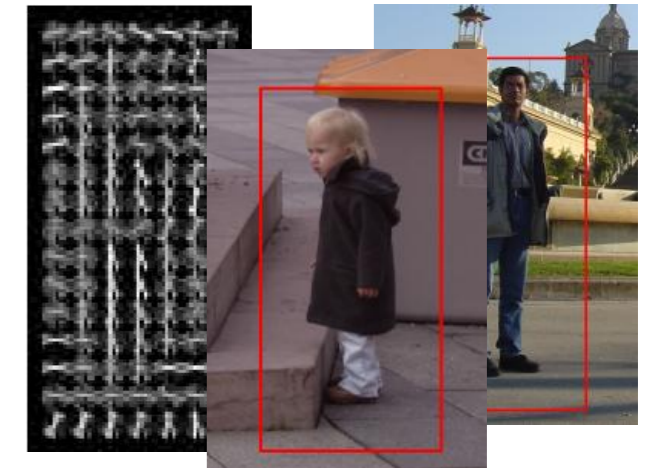
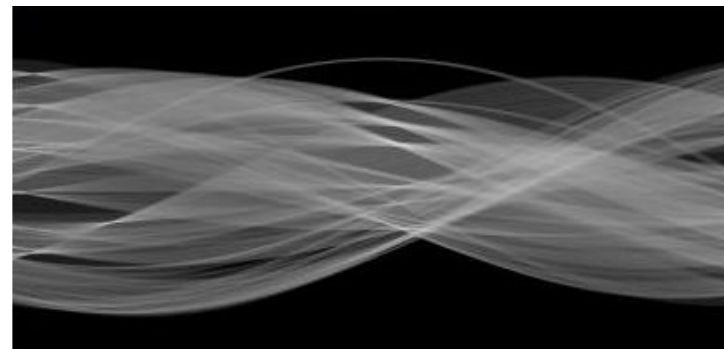
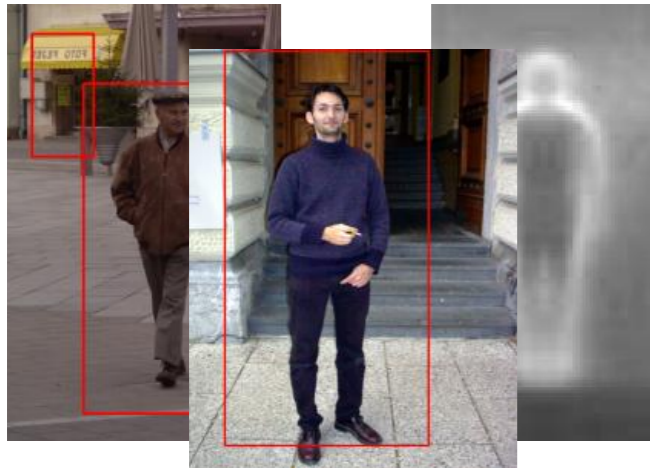


Обработка изображений в системах искусственного интеллекта

(курс лекций)

http://bit.ly/ML_IS_CV

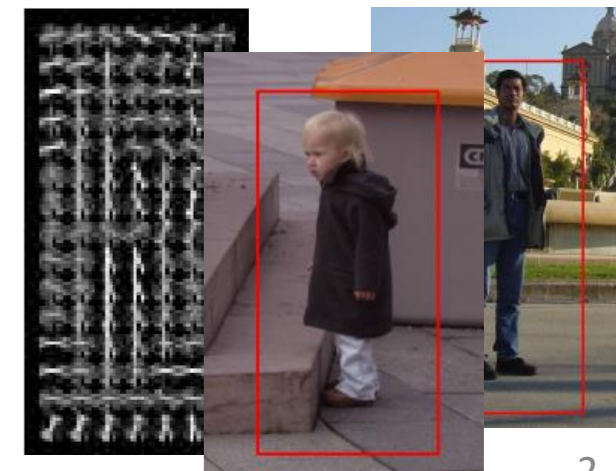
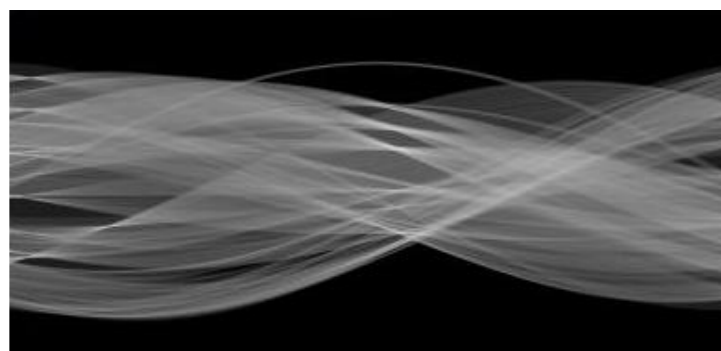
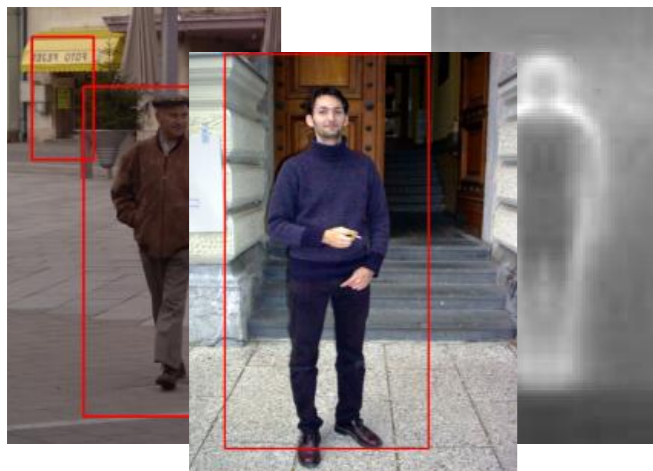
Гнеушев Александр Николаевич 



Спектральный анализ изображения

Тема 11

20.03.2026



Понятие визуальной избыточности изображения

Метод главных компонент

Пусть $\mathbf{f} = [f_1 \dots f_Q]^T$ – Q -мерный вектор-столбец изображения из множества реализаций (ансамбля) изображений $\{\mathbf{f}_k\}$.

Информационная эффективность представления реализаций изображения \mathbf{f} : $\eta = \frac{H(\mathbf{f})}{l_{cp}}$.

Рассмотрим преобразование изображения \mathbf{f} такое чтобы уменьшить среднюю длину представления изображения l_{cp} с минимальными потерями информации $H(\mathbf{f})$, для увеличения эффективности η .

Будем искать линейное преобразование Ψ :

$$\mathbf{z} = \Psi(\mathbf{f} - M\{\mathbf{f}\}) \Rightarrow z_i = \boldsymbol{\varphi}_i^T (\mathbf{f} - M\{\mathbf{f}\}),$$
$$\mathbf{z} = [z_1 \dots z_Q]^T, \mathbf{f} = [f_1 \dots f_Q]^T, i = 1, \dots, Q,$$

где матрица $\Psi = [\boldsymbol{\varphi}_1 \dots \boldsymbol{\varphi}_Q]^T$, $|\Psi| \neq 0$, состоит из линейно-независимых столбцов $\boldsymbol{\varphi}_i$.

Идея: если преобразование Ψ будет максимизировать количество информации в одном подмножестве компонент $[z_1 \dots z_m]^T$ преобразованного изображения \mathbf{z} , то остальное подмножество компонент $[z_{m+1} \dots z_Q]^T$ будет содержать минимальное количество информации, т.е. преобразование Ψ должно перераспределять количество информации в компонентах вектора \mathbf{z} , так чтобы можно было удалить те компоненты, которые несут несущественную долю информации: $H([z_1 \dots z_m]^T, \Psi) \approx H(\mathbf{z}, \Psi) = H(\mathbf{f})$, тем самым уменьшить длину представления $l_{cp} = \text{len}([z_1 \dots z_m]^T) \leq \text{len}([z_1 \dots z_Q]^T) \leq \text{len}([f_1 \dots f_Q]^T)$ и увеличить эффективность η , где $H(\mathbf{z}, \Psi)$ – количество информации, содержащейся в представлении вектора \mathbf{z} и матрицы преобразования Ψ , таким образом, часть информации $H(\mathbf{f})$ перейдет в $H(\Psi)$.

Понятие визуальной избыточности изображения

Метод главных компонент

Пусть $\mathbf{f} = [f_1 \dots f_Q]^T$ – Q -мерный вектор-столбец изображения из множества реализаций (ансамбля) изображений $\{\mathbf{f}_k\}$.

Информационная эффективность представления реализаций изображения \mathbf{f} : $\eta = \frac{H(\mathbf{f})}{l_{\text{cp}}}$.

Рассмотрим преобразование изображения \mathbf{f} такое чтобы уменьшить среднюю длину представления изображения l_{cp} с минимальными потерями информации $H(\mathbf{f})$, для увеличения эффективности η .

Будем искать линейное преобразование Ψ :

$$\mathbf{z} = \Psi(\mathbf{f} - M\{\mathbf{f}\}) \Rightarrow z_i = \boldsymbol{\varphi}_i^T (\mathbf{f} - M\{\mathbf{f}\}),$$
$$\mathbf{z} = [z_1 \dots z_Q]^T, \mathbf{f} = [f_1 \dots f_Q]^T, i = 1, \dots, Q,$$

где матрица $\Psi = [\boldsymbol{\varphi}_1 \dots \boldsymbol{\varphi}_Q]^T$, $|\Psi| \neq 0$, состоит из линейно-независимых столбцов $\boldsymbol{\varphi}_i$.

Идея: если преобразование Ψ будет максимизировать количество информации в одном подмножестве компонент $[z_1 \dots z_m]^T$ преобразованного изображения \mathbf{z} , то остальное подмножество компонент $[z_{m+1} \dots z_Q]^T$ будет содержать минимальное количество информации, т.е. преобразование Ψ должно перераспределять количество информации в компонентах вектора \mathbf{z} , так чтобы можно было удалить те компоненты, которые несут несущественную долю информации: $H([z_1 \dots z_m]^T, \Psi) \approx H(\mathbf{z}, \Psi) = H(\mathbf{f})$, тем самым уменьшить длину представления $l_{\text{cp}} = \text{len}([z_1 \dots z_m]^T) \leq \text{len}([z_1 \dots z_Q]^T) \leq \text{len}([f_1 \dots f_Q]^T)$ и увеличить эффективность η , где $H(\mathbf{z}, \Psi)$ – количество информации, содержащейся в представлении вектора \mathbf{z} и матрицы преобразования Ψ , таким образом, часть информации $H(\mathbf{f})$ перейдет в $H(\Psi)$.

В соответствии со свойством $H(z_i) \geq H(z_i|z_{i-1}) \geq H(z_i|z_{i-1}, z_{i-2}, \dots)$ для увеличения количества информации в компоненте z_i необходимо уменьшить зависимость (скоррелированность) компонент между собой. Поэтому, в предположении нормального распределения каждой компоненты \mathbf{f} будем искать матрицу Ψ из условия декорреляции компонент в векторном пространстве реализаций $\{\mathbf{z}_k\}$:

$$M\{\mathbf{z}\mathbf{z}^T\} = \Lambda \Leftrightarrow \mathbf{Z}\mathbf{Z}^T = \Lambda,$$

где Λ -диагональная автокорреляционная матрица, $M\{\}$ - мат. ожидание по векторной выборке реализаций $\mathbf{Z} = [\mathbf{z}_k]$, полученной путем преобразования Ψ векторной выборки реализаций $\mathbf{F} = [\mathbf{f}_k]$, где \mathbf{Z}, \mathbf{F} – матрицы составленные из соответствующих столбцов-векторов выборки реализаций:

$$\mathbf{Z} = \Psi(\mathbf{F} - M\{\mathbf{f}\}) - \text{преобразование Хотеллинга (Hotelling transform)}$$

Понятие визуальной избыточности изображения

Метод главных компонент

Подставив в условие: $\mathbf{Z}\mathbf{Z}^T = \mathbf{\Lambda}$, модель преобразования $\mathbf{Z} = \mathbf{\Psi}(\mathbf{F} - M\{\mathbf{f}\})$ и ковариационную матрицу реализацией изображений $\mathbf{\Sigma}_f = M\{(\mathbf{f} - M\{\mathbf{f}\})(\mathbf{f} - M\{\mathbf{f}\})^T\} = (\mathbf{F} - M\{\mathbf{f}\})(\mathbf{F} - M\{\mathbf{f}\})^T$

преобразование $\mathbf{\Psi}$ диагонализует симметричную матрицу $\mathbf{\Sigma}_f$

$$\mathbf{Z}\mathbf{Z}^T = \mathbf{\Psi}(\mathbf{F} - M\{\mathbf{f}\})(\mathbf{F} - M\{\mathbf{f}\})^T\mathbf{\Psi}^T = \mathbf{\Psi}\mathbf{\Sigma}_f\mathbf{\Psi}^T = \mathbf{\Lambda} = \begin{pmatrix} \sigma_1^2 & \dots & 0 \\ \vdots & \ddots & \vdots \\ 0 & \dots & \sigma_Q^2 \end{pmatrix} = \begin{pmatrix} \lambda_1 & \dots & 0 \\ \vdots & \ddots & \vdots \\ 0 & \dots & \lambda_Q \end{pmatrix}$$

Собственные числа

$$\mathbf{\Psi}\mathbf{\Sigma}_f\mathbf{\Psi}^T = \mathbf{\Lambda} \Leftrightarrow \mathbf{\Psi}^T\mathbf{\Psi}\mathbf{\Sigma}_f\mathbf{\Psi}^T = \mathbf{\Psi}^T\mathbf{\Lambda}$$

$\mathbf{\Sigma}_f$ – симметричная $\Rightarrow \mathbf{\Psi}^T\mathbf{\Psi} = \mathbf{I}$ (спектральная теорема) $\Leftrightarrow \mathbf{\Sigma}_f\mathbf{\Psi}^T = \mathbf{\Psi}^T\mathbf{\Lambda} \Rightarrow \mathbf{\Sigma}_f\boldsymbol{\varphi}_i = \lambda_i\boldsymbol{\varphi}_i$ $i = 1, \dots, Q$ - уравнения для собственных ортогональных векторов $\boldsymbol{\varphi}_i$ матрицы $\mathbf{\Sigma}_f$.

Понятие визуальной избыточности изображения

Метод главных компонент

Подставив в условие: $\mathbf{Z}\mathbf{Z}^T = \mathbf{\Lambda}$, модель преобразования $\mathbf{Z} = \mathbf{\Psi}(\mathbf{F} - M\{\mathbf{f}\})$ и ковариационную матрицу реализацией изображений $\mathbf{\Sigma}_f = M\{(\mathbf{f} - M\{\mathbf{f}\})(\mathbf{f} - M\{\mathbf{f}\})^T\} = (\mathbf{F} - M\{\mathbf{f}\})(\mathbf{F} - M\{\mathbf{f}\})^T$

преобразование $\mathbf{\Psi}$ диагонализует симметричную матрицу $\mathbf{\Sigma}_f$

$$\mathbf{Z}\mathbf{Z}^T = \mathbf{\Psi}(\mathbf{F} - M\{\mathbf{f}\})(\mathbf{F} - M\{\mathbf{f}\})^T\mathbf{\Psi}^T = \mathbf{\Psi}\mathbf{\Sigma}_f\mathbf{\Psi}^T = \mathbf{\Lambda} = \begin{pmatrix} \sigma_1^2 & \dots & 0 \\ \vdots & \ddots & \vdots \\ 0 & \dots & \sigma_Q^2 \end{pmatrix} = \begin{pmatrix} \lambda_1 & \dots & 0 \\ \vdots & \ddots & \vdots \\ 0 & \dots & \lambda_Q \end{pmatrix}$$

Собственные числа

$$\mathbf{\Psi}\mathbf{\Sigma}_f\mathbf{\Psi}^T = \mathbf{\Lambda} \Leftrightarrow \mathbf{\Psi}^T\mathbf{\Psi}\mathbf{\Sigma}_f\mathbf{\Psi}^T = \mathbf{\Psi}^T\mathbf{\Lambda}$$

$\mathbf{\Sigma}_f$ – симметричная $\Rightarrow \mathbf{\Psi}^T\mathbf{\Psi} = \mathbf{I}$ (спектральная теорема) $\Leftrightarrow \mathbf{\Sigma}_f\mathbf{\Psi}^T = \mathbf{\Psi}^T\mathbf{\Lambda} \Rightarrow \mathbf{\Sigma}_f\boldsymbol{\varphi}_i = \lambda_i\boldsymbol{\varphi}_i$ $i = 1, \dots, Q$ – уравнения для собственных ортогональных векторов $\boldsymbol{\varphi}_i$ матрицы $\mathbf{\Sigma}_f$.

Ортогональная матрица $\mathbf{\Psi}$ состоит из ортогональных столбцов $\boldsymbol{\varphi}_i$, по ортогональным проекциям $z_i = \boldsymbol{\varphi}_i^T(\mathbf{f} - M\{\mathbf{f}\}) = \langle \boldsymbol{\varphi}_i^T, \mathbf{f} - M\{\mathbf{f}\} \rangle$ можно восстановить вектор \mathbf{f} :

$$\mathbf{f} = \sum_{i=1}^Q z_i \boldsymbol{\varphi}_i + M\{\mathbf{f}\} = \sum_{i=1}^Q \langle \boldsymbol{\varphi}_i^T, \mathbf{f} - M\{\mathbf{f}\} \rangle \boldsymbol{\varphi}_i + M\{\mathbf{f}\} = \mathbf{\Psi}\mathbf{z} + M\{\mathbf{f}\}$$

Вычислим только первые $m < Q$ компонент вектора \mathbf{z} :

$$\hat{\mathbf{f}}(m) - M\{\mathbf{f}\} = \sum_{i=1}^m z_i \boldsymbol{\varphi}_i + \sum_{i=m+1}^Q b_i \boldsymbol{\varphi}_i, \quad b_i - \text{константы.}$$

остаток

Понятие визуальной избыточности изображения

Метод главных компонент

Подставив в условие: $\mathbf{Z}\mathbf{Z}^T = \mathbf{\Lambda}$, модель преобразования $\mathbf{Z} = \mathbf{\Psi}(\mathbf{F} - M\{\mathbf{f}\})$ и ковариационную матрицу реализацией изображений $\mathbf{\Sigma}_f = M\{(\mathbf{f} - M\{\mathbf{f}\})(\mathbf{f} - M\{\mathbf{f}\})^T\} = (\mathbf{F} - M\{\mathbf{f}\})(\mathbf{F} - M\{\mathbf{f}\})^T$ преобразование $\mathbf{\Psi}$ диагонализует симметричную матрицу $\mathbf{\Sigma}_f$

$$\mathbf{Z}\mathbf{Z}^T = \mathbf{\Psi}(\mathbf{F} - M\{\mathbf{f}\})(\mathbf{F} - M\{\mathbf{f}\})^T\mathbf{\Psi}^T = \mathbf{\Psi}\mathbf{\Sigma}_f\mathbf{\Psi}^T = \mathbf{\Lambda} = \begin{pmatrix} \sigma_1^2 & \dots & 0 \\ \vdots & \ddots & \vdots \\ 0 & \dots & \sigma_Q^2 \end{pmatrix} = \begin{pmatrix} \lambda_1 & \dots & 0 \\ \vdots & \ddots & \vdots \\ 0 & \dots & \lambda_Q \end{pmatrix}$$

Собственные числа

$$\mathbf{\Psi}\mathbf{\Sigma}_f\mathbf{\Psi}^T = \mathbf{\Lambda} \Leftrightarrow \mathbf{\Psi}^T\mathbf{\Psi}\mathbf{\Sigma}_f\mathbf{\Psi}^T = \mathbf{\Psi}^T\mathbf{\Lambda}$$

$\mathbf{\Sigma}_f$ – симметричная $\Rightarrow \mathbf{\Psi}^T\mathbf{\Psi} = \mathbf{I} \Leftrightarrow \mathbf{\Sigma}_f\mathbf{\Psi}^T = \mathbf{\Psi}^T\mathbf{\Lambda} \Rightarrow \mathbf{\Sigma}_f\boldsymbol{\varphi}_i = \lambda_i\boldsymbol{\varphi}_i$ $i = 1, \dots, Q$ – уравнения для собственных ортогональных векторов $\boldsymbol{\varphi}_i$ матрицы $\mathbf{\Sigma}_f$.
(спектральная теорема)

Ортогональная матрица $\mathbf{\Psi}$ состоит из ортогональных столбцов $\boldsymbol{\varphi}_i$, по ортогональным проекциям $z_i = \boldsymbol{\varphi}_i^T(\mathbf{f} - M\{\mathbf{f}\}) = \langle \boldsymbol{\varphi}_i^T, \mathbf{f} - M\{\mathbf{f}\} \rangle$ можно восстановить вектор \mathbf{f} :

$$\mathbf{f} = \sum_{i=1}^Q z_i \boldsymbol{\varphi}_i + M\{\mathbf{f}\} = \sum_{i=1}^Q \langle \boldsymbol{\varphi}_i^T, \mathbf{f} - M\{\mathbf{f}\} \rangle \boldsymbol{\varphi}_i + M\{\mathbf{f}\} = \mathbf{\Psi}\mathbf{z} + M\{\mathbf{f}\}$$

Вычислим только первые $m < Q$ компонент вектора \mathbf{z} :

$$\hat{\mathbf{f}}(m) - M\{\mathbf{f}\} = \sum_{i=1}^m z_i \boldsymbol{\varphi}_i + \sum_{i=m+1}^Q b_i \boldsymbol{\varphi}_i, \quad b_i - \text{константы. Ошибка представления: } e(m) = \mathbf{f} - \hat{\mathbf{f}}(m) = \mathbf{f} - M\{\mathbf{f}\} - \sum_{i=1}^m z_i \boldsymbol{\varphi}_i - \sum_{i=m+1}^Q b_i \boldsymbol{\varphi}_i = \sum_{i=m+1}^Q (z_i - b_i) \boldsymbol{\varphi}_i$$

остаток

Средняя ошибка по множеству реализаций $\{z_k\}$: $\bar{e}^2(m) = M\{\|e(m)\|^2\} = M\left\{ \sum_{i=m+1}^Q \sum_{j=m+1}^Q (z_i - b_i)(z_j - b_j) \boldsymbol{\varphi}_i^T \boldsymbol{\varphi}_j \right\} = \sum_{i=m+1}^Q M\{(z_i - b_i)^2\}$

Выберем оптимальные константы:

$$\frac{\partial \bar{e}^2(m)}{\partial b_i} = -2(M\{z_i\} - b_i) = 0, \Rightarrow b_i = M\{z_i\} = \boldsymbol{\varphi}_i^T M\{(\mathbf{f} - M\{\mathbf{f}\})\} = \boldsymbol{\varphi}_i^T (M\{\mathbf{f}\} - M\{\mathbf{f}\}) = \mathbf{0}, \quad i = m + 1, \dots, Q$$

$$\hat{\mathbf{f}}(m) = \sum_{i=1}^m z_i \boldsymbol{\varphi}_i + M\{\mathbf{f}\}, \quad m < Q \quad \longrightarrow \quad \bar{e}^2(m) = M\{\|\mathbf{f} - \hat{\mathbf{f}}(m)\|^2\} = \sum_{i=m+1}^Q M\{(z_i - M\{z_i\})^2\}$$

Понятие визуальной избыточности изображения

Метод главных компонент

С учетом $M\{\mathbf{f}\}$ ошибка аппроксимации $\hat{\mathbf{f}}(m)$:

$$\begin{aligned} \Rightarrow M\{\|\mathbf{f} - \hat{\mathbf{f}}(m)\|^2\} &= \sum_{i=m+1}^Q M\{(z_i - b_i)^2\} = \sum_{i=m+1}^Q M\{(z_i - \underbrace{M\{z_i\}}_{=0})^2\} = \sum_{i=m+1}^Q \boldsymbol{\varphi}_i^T M\{(\mathbf{f} - M\{\mathbf{f}\})(\mathbf{f} - M\{\mathbf{f}\})^T\} \boldsymbol{\varphi}_i = \\ &= \sum_{i=m+1}^Q \boldsymbol{\varphi}_i^T \boldsymbol{\Sigma}_f \boldsymbol{\varphi}_i = \sum_{i=m+1}^Q \lambda_i \boldsymbol{\varphi}_i^T \boldsymbol{\varphi}_i = \sum_{i=m+1}^Q \lambda_i = \sum_{i=m+1}^Q \sigma_i^2 \quad \text{- остаточная дисперсия} \end{aligned}$$

$$\begin{aligned} \boldsymbol{\Sigma}_z &= \mathbf{Z}\mathbf{Z}^T = \boldsymbol{\Psi}^T \boldsymbol{\Sigma}_f \boldsymbol{\Psi} = \\ &= \boldsymbol{\Lambda} = \begin{pmatrix} \sigma_1^2 & \cdots & 0 \\ \vdots & \ddots & \vdots \\ 0 & \cdots & \sigma_Q^2 \end{pmatrix} = \begin{pmatrix} \lambda_1 & \cdots & 0 \\ \vdots & \ddots & \vdots \\ 0 & \cdots & \lambda_Q \end{pmatrix} \end{aligned}$$

Минимальная ошибка аппроксимации $\hat{\mathbf{f}}(m)$ определяется суммой $(Q - m)$ наименьших собственных чисел, компонентами z_i с минимальными дисперсиями.

$$\hat{\mathbf{f}}(m) = \sum_{i=1}^m z_i \boldsymbol{\varphi}_i + M\{\mathbf{f}\}, \quad m < Q$$

Метод главных компонент (преобразование Хотеллинга)

1. Базисные вектора $\boldsymbol{\varphi}_i$ - собственные вектора ковариационной матрицы $\boldsymbol{\Sigma}_f = M\{(\mathbf{f} - M\{\mathbf{f}\})(\mathbf{f} - M\{\mathbf{f}\})^T\}$ по множеству реализаций $\{\mathbf{f}\}$.
2. Полезность признака-компоненты (с точки зрения представления) определяется соответствующим собственным значением.
3. Признаки взаимно некоррелированы: $\boldsymbol{\Sigma}_z = \boldsymbol{\Psi}^T \boldsymbol{\Sigma}_f \boldsymbol{\Psi} = \boldsymbol{\Lambda}$. Для нормального распределения $\{\mathbf{f}\}$ - признаки/компоненты z_i взаимно независимы.
4. Собственные вектора $\boldsymbol{\varphi}_i$ дают наименьшее значение среднеквадратичной ошибки $\overline{e^2}(m)$ среди всех ортонормированных базисных векторов.

Доля ошибки аппроксимации - критерий выбора числа компонент вектора \mathbf{z} :

$$\mu_i = \frac{\lambda_i}{\sum_{i=1}^Q \lambda_i} = \frac{\lambda_i}{\text{tr} \boldsymbol{\Sigma}_z}$$

Понятие визуальной избыточности изображения

Метод главных компонент через сингулярное разложение (SVD)

Для нахождения матрицы преобразования Ψ можно использовать сингулярное разложение матрицы изображений:

$$\mathbf{F} - \mathbf{M}\{\mathbf{f}\} = \mathbf{USV}^T \Rightarrow \Sigma_{\mathbf{f}} = (\mathbf{F} - \mathbf{M}\{\mathbf{f}\})(\mathbf{F} - \mathbf{M}\{\mathbf{f}\})^T = \mathbf{USV}^T \mathbf{V} \mathbf{S}^T \mathbf{U}^T = \mathbf{USS}^T \mathbf{U}^T = \mathbf{US}^2 \mathbf{U}^T$$

Условие декорреляции:

$$\Rightarrow \Sigma_{\mathbf{z}} = \mathbf{ZZ}^T = \Psi \Sigma_{\mathbf{f}} \Psi^T = \Psi \mathbf{US}^2 \mathbf{U}^T \Psi^T = \Lambda = \begin{pmatrix} \sigma_1^2 & \dots & 0 \\ \vdots & \ddots & \vdots \\ 0 & \dots & \sigma_Q^2 \end{pmatrix} = \begin{pmatrix} \lambda_1 & \dots & 0 \\ \vdots & \ddots & \vdots \\ 0 & \dots & \lambda_Q \end{pmatrix}$$

$$\text{При } \Psi = \mathbf{U}^T \Rightarrow \Sigma_{\mathbf{z}} = \mathbf{S}^2 = \begin{pmatrix} \sigma_1^2 & \dots & 0 \\ \vdots & \ddots & \vdots \\ 0 & \dots & \sigma_Q^2 \end{pmatrix}$$

$$\Rightarrow \mathbf{Z} = \mathbf{U}^T (\mathbf{F} - \mathbf{M}\{\mathbf{f}\})$$

$$\Rightarrow \mathbf{Z}_m = \mathbf{U}_m^T (\mathbf{F} - \mathbf{M}\{\mathbf{f}\})$$

$$\Rightarrow \mathbf{F} = \mathbf{UZ} + \mathbf{M}\{\mathbf{f}\}$$

$$\Rightarrow \hat{\mathbf{F}} = \mathbf{U}_m \mathbf{Z}_m + \mathbf{M}\{\mathbf{f}\} \quad m < Q$$

$$\mathbf{S} = \Lambda^{1/2} = \begin{array}{cc} \overbrace{\hspace{1.5cm}}^m & \overbrace{\hspace{1.5cm}}^{Q-m} \\ \left[\begin{array}{cc} \lambda^{1/2}(1) & \\ & \ddots \\ & & \lambda^{1/2}(m) \\ \hline & & & \mathbf{0} \\ & & & \mathbf{0} \end{array} \right] & \left. \vphantom{\begin{array}{c} \lambda^{1/2}(1) \\ \vdots \\ \lambda^{1/2}(m) \\ \mathbf{0} \\ \mathbf{0} \end{array}} \right\} \begin{array}{l} m \\ Q-m \end{array} \end{array}$$

Понятие визуальной избыточности изображения

Метод главных компонент

Преобразование Хотеллинга максимизирует **информационную эффективность** представления $\eta = \frac{H(\mathbf{f})}{l_{\text{cp}}}$

$$H(\mathbf{f}) = \sum_{q=1}^Q H(f(q))$$

Пусть $P(\mathbf{f})$ - нормальное распределение:

$$\begin{aligned} H(\mathbf{f}) &= - \int_{\mathcal{P}} (2\pi)^{-Q/2} |\Sigma_{\mathbf{f}}|^{-1/2} \exp \left\{ -\frac{1}{2} (\mathbf{f} - M\{\mathbf{f}\})^T \Sigma_{\mathbf{f}}^{-1} (\mathbf{f} - M\{\mathbf{f}\}) \right\} \left[-\frac{1}{2} (\mathbf{f} - M\{\mathbf{f}\})^T \Sigma_{\mathbf{f}}^{-1} (\mathbf{f} - M\{\mathbf{f}\}) - \frac{1}{2} \ln |\Sigma_{\mathbf{f}}| - \frac{1}{2} \ln 2\pi \right] d\mathbf{f} \\ &= \frac{1}{2} Q + \frac{1}{2} \ln |\Sigma_{\mathbf{f}}| + \frac{1}{2} Q \ln 2\pi \end{aligned}$$

Если выбрать главные компоненты в качестве признаков, $|\Sigma_{\mathbf{f}}| = \prod_{i=1}^Q \lambda_i$:

$$H(\mathbf{f}) = \frac{1}{2} \sum_{i=1}^Q (1 + \ln \lambda_i + \ln 2\pi) \rightarrow H(\mathbf{z}, m) = \frac{1}{2} \sum_{i=1}^m (1 + \ln \lambda_i + \ln 2\pi) + e_H, \quad m < Q$$

Большая часть информации содержится в компонентах, соответствующих большим собственным числам.

Критерий отбора:
$$\mu_i = \frac{1 + \ln \lambda_i + \ln 2\pi}{\sum_{i=1}^Q (1 + \ln \lambda_i + \ln 2\pi)}$$

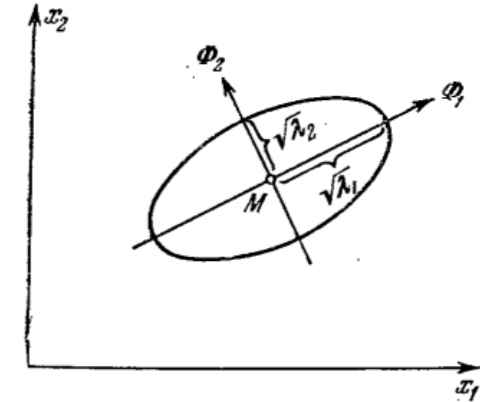
Понятие визуальной избыточности изображения

Метод главных компонент

1. **Базисные вектора** Преобразование Хотеллинга - **Главные компоненты.**

$$\mathbf{z} = \Psi \mathbf{f}, \quad \Sigma_{\mathbf{z}} = \Psi \Sigma_{\mathbf{f}} \Psi^T, \quad \Sigma_{\mathbf{f}} = M\{(\mathbf{f} - M\{\mathbf{f}\})(\mathbf{f} - M\{\mathbf{f}\})^T\}$$

Для: $(\mathbf{z} - \mathbf{M}_{\mathbf{z}})^T (\mathbf{z} - \mathbf{M}_{\mathbf{z}}) = 1$: $d^2(\mathbf{z}, \mathbf{M}_{\mathbf{z}}, \Sigma_{\mathbf{z}}) = (\mathbf{z} - \mathbf{M}_{\mathbf{z}})^T \Sigma_{\mathbf{z}}^{-1} (\mathbf{z} - \mathbf{M}_{\mathbf{z}}) \rightarrow \max$



- нормированные собственные вектора
максимизируют угловые расстояния от
среднего (**главные компоненты**)

Понятие визуальной избыточности изображения

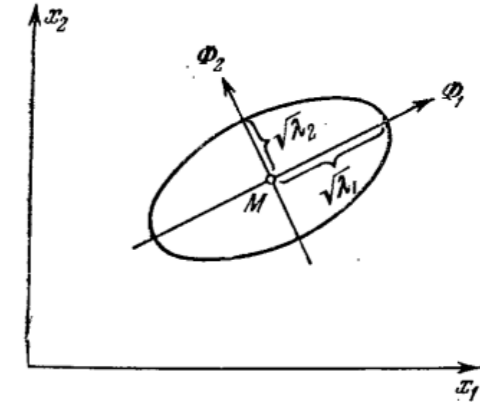
Метод главных компонент

1. **Базисные вектора** Преобразование Хотеллинга - **Главные компоненты.**

$$\mathbf{z} = \Psi \mathbf{f}, \Sigma_{\mathbf{z}} = \Psi \Sigma_{\mathbf{f}} \Psi^T, \Sigma_{\mathbf{f}} = M\{(\mathbf{f} - M\{\mathbf{f}\})(\mathbf{f} - M\{\mathbf{f}\})^T\}$$

Для: $(\mathbf{z} - \mathbf{M}_{\mathbf{z}})^T (\mathbf{z} - \mathbf{M}_{\mathbf{z}}) = 1$: $d^2(\mathbf{z}, \mathbf{M}_{\mathbf{z}}, \Sigma_{\mathbf{z}}) = (\mathbf{z} - \mathbf{M}_{\mathbf{z}})^T \Sigma_{\mathbf{z}}^{-1} (\mathbf{z} - \mathbf{M}_{\mathbf{z}}) \rightarrow \max$

$$\tilde{\mathbf{z}} = (\mathbf{z} - \mathbf{M}_{\mathbf{z}}): \frac{\partial}{\partial \tilde{\mathbf{z}}} \left(\tilde{\mathbf{z}}^T \Sigma_{\mathbf{z}}^{-1} \tilde{\mathbf{z}} - \mu (\tilde{\mathbf{z}}^T \tilde{\mathbf{z}} - 1) \right) = 2 \Sigma_{\mathbf{z}}^{-1} \tilde{\mathbf{z}} - 2 \mu \tilde{\mathbf{z}} = 0 \Rightarrow \Sigma_{\mathbf{z}}^{-1} \tilde{\mathbf{z}} = \mu \tilde{\mathbf{z}} \Rightarrow \Sigma_{\mathbf{z}} \tilde{\mathbf{z}} = \lambda \tilde{\mathbf{z}}$$



- нормированные собственные вектора
максимизируют угловые расстояния от
среднего (**главные компоненты**)

Понятие визуальной избыточности изображения

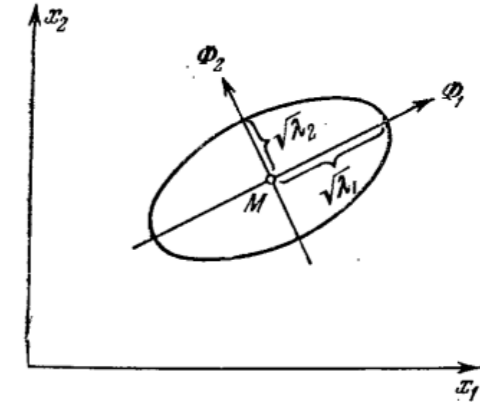
Метод главных компонент

1. **Базисные вектора** Преобразование Хотеллинга - **Главные компоненты.**

$$\mathbf{z} = \Psi \mathbf{f}, \Sigma_{\mathbf{z}} = \Psi \Sigma_{\mathbf{f}} \Psi^T, \Sigma_{\mathbf{f}} = M\{(\mathbf{f} - M\{\mathbf{f}\})(\mathbf{f} - M\{\mathbf{f}\})^T\}$$

Для: $(\mathbf{z} - \mathbf{M}_{\mathbf{z}})^T (\mathbf{z} - \mathbf{M}_{\mathbf{z}}) = 1$: $d^2(\mathbf{z}, \mathbf{M}_{\mathbf{z}}, \Sigma_{\mathbf{z}}) = (\mathbf{z} - \mathbf{M}_{\mathbf{z}})^T \Sigma_{\mathbf{z}}^{-1} (\mathbf{z} - \mathbf{M}_{\mathbf{z}}) \rightarrow \max$

$$\tilde{\mathbf{z}} = (\mathbf{z} - \mathbf{M}_{\mathbf{z}}): \frac{\partial}{\partial \tilde{\mathbf{z}}} (\tilde{\mathbf{z}}^T \Sigma_{\mathbf{z}}^{-1} \tilde{\mathbf{z}} - \mu (\tilde{\mathbf{z}}^T \tilde{\mathbf{z}} - 1)) = 2 \Sigma_{\mathbf{z}}^{-1} \tilde{\mathbf{z}} - 2 \mu \tilde{\mathbf{z}} = 0 \Rightarrow \Sigma_{\mathbf{z}}^{-1} \tilde{\mathbf{z}} = \mu \tilde{\mathbf{z}} \Rightarrow \Sigma_{\mathbf{z}} \tilde{\mathbf{z}} = \lambda \tilde{\mathbf{z}}$$



- нормированные собственные вектора максимизируют угловые расстояния от среднего (**главные компоненты**)

2. **Базисные вектора** Преобразования Хотеллинга – максимизируют **разнообразие** (разброс) представления.

$$\overline{d_{\mathbf{f}}^2} = M\{\|\mathbf{f}_i - \mathbf{f}_j\|^2\} = M\{\mathbf{f}_i^T \mathbf{f}_i + \mathbf{f}_j^T \mathbf{f}_j\} - M\{\mathbf{f}_i^T \mathbf{f}_j + \mathbf{f}_j^T \mathbf{f}_i\} - \text{внутри множественное расстояние}$$

$$\mathbf{f}_i, \mathbf{f}_j - \text{независимые: } \overline{d_{\mathbf{f}}^2} = 2M\{\mathbf{f}^T \mathbf{f}\} - 2M\{\mathbf{f}^T\}M\{\mathbf{f}\} = 2\text{tr}[M\{\mathbf{f}^T \mathbf{f}\} - \mathbf{M}_{\mathbf{f}} \mathbf{M}_{\mathbf{f}}^T] = 2\text{tr}(\mathbf{K} - \mathbf{M}_{\mathbf{f}} \mathbf{M}_{\mathbf{f}}^T) = 2\text{tr} \Sigma_{\mathbf{f}}$$

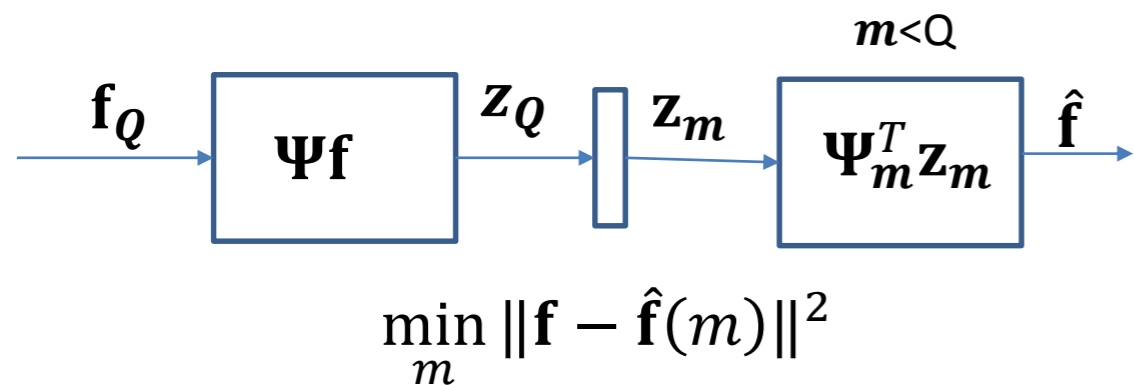
$$\mathbf{z} = \Psi \mathbf{f} \Rightarrow \overline{d_{\mathbf{z}}^2} = 2\text{tr} \Sigma_{\mathbf{z}} = 2\text{tr} \Psi \Sigma_{\mathbf{f}} \Psi^T = 2\text{tr} \Sigma_{\mathbf{f}}$$

$$\overline{d_{\mathbf{z}}^2} = 2 \sum_{i=1}^q \boldsymbol{\varphi}_i^T \Sigma_{\mathbf{z}} \boldsymbol{\varphi}_i \rightarrow \overline{d_{\mathbf{z}}^2(m)} = 2 \sum_{i=1}^m \boldsymbol{\varphi}_i^T \Sigma_{\mathbf{z}} \boldsymbol{\varphi}_i - \text{выбор } m \text{ — компонент, максимизирующих внутри множественные расстояния, т.е. выбора } m \text{ главных компонент.}$$

Понятие визуальной избыточности изображения

Метод главных компонент. Связь с нейросетевой моделью автоэнкодера.

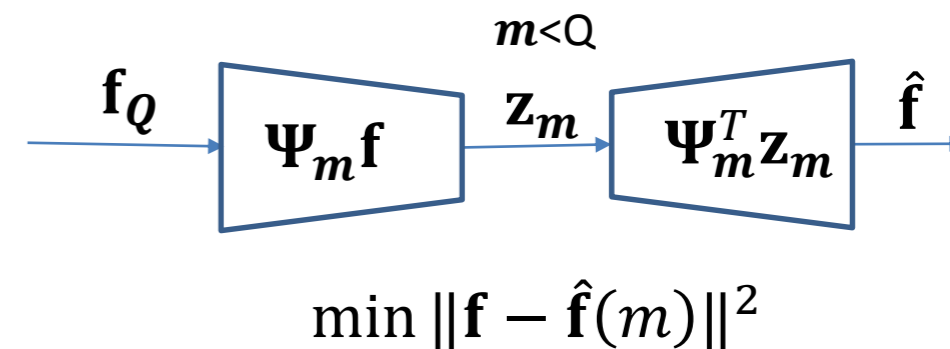
Линейный МГК



Выбор главных компонент



Фиксированные главные компоненты



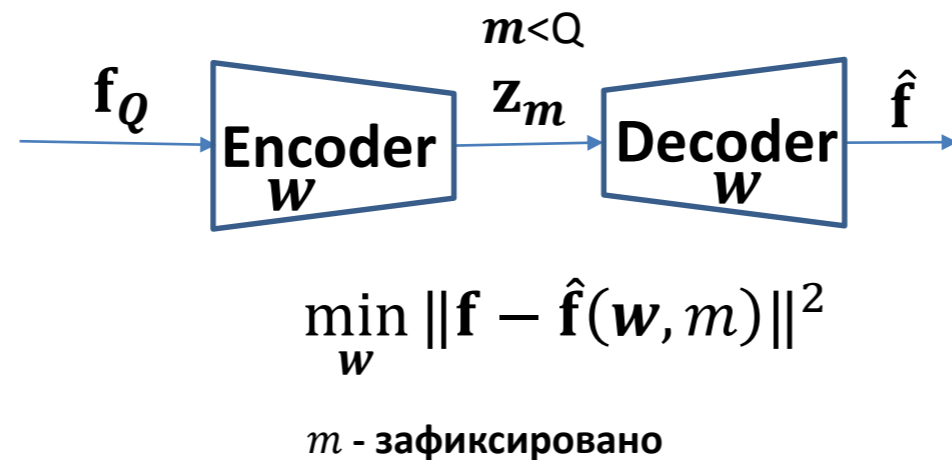
Понятие визуальной избыточности изображения

Метод главных компонент. Связь с нейросетевой моделью автоэнкодера.

Линейный МГК

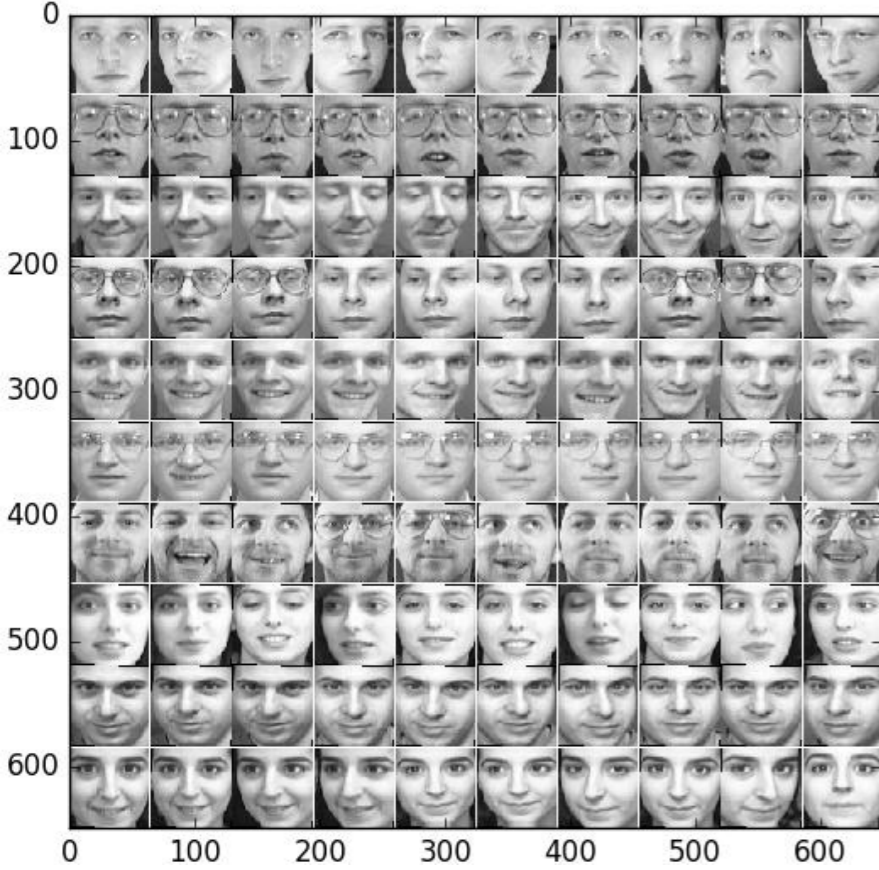


Нейросетевой МГК: Архитектура с узким горлышком – латентным пространством признаков, Автоэнкодер (АЕ)

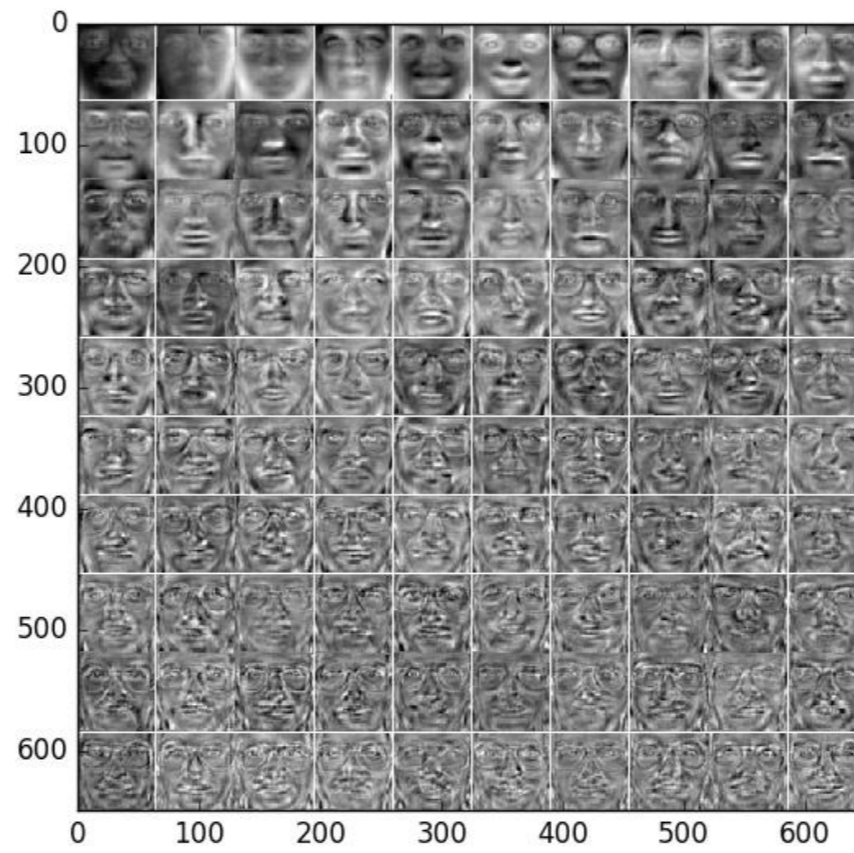


Eigenfaces

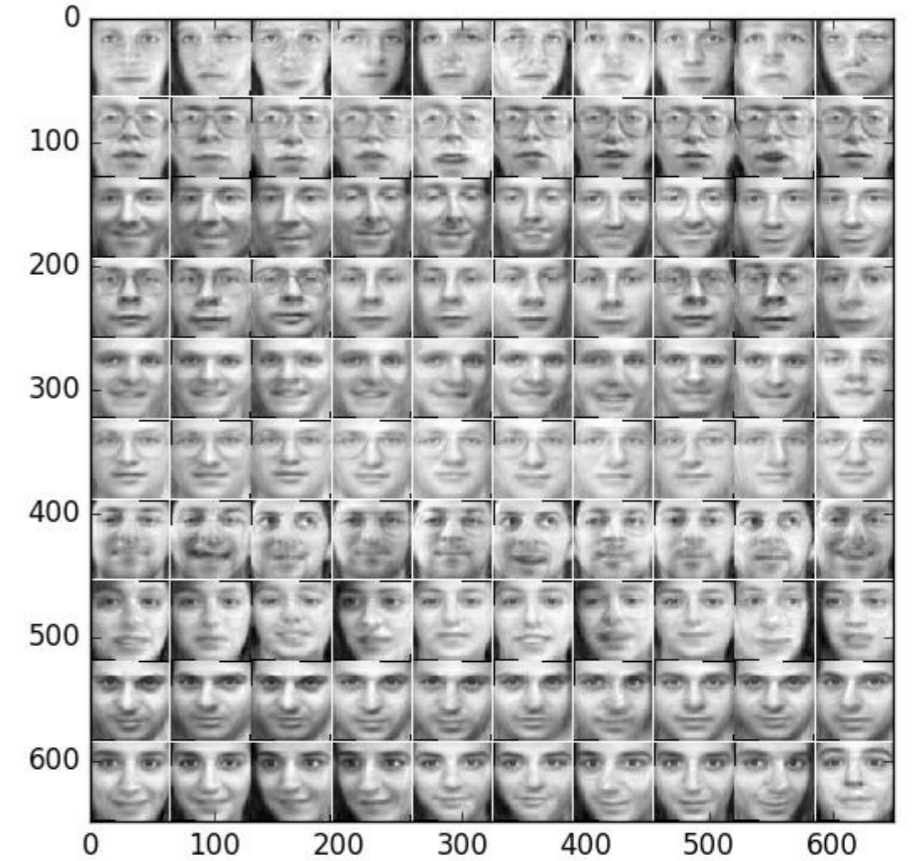
First 100 Face images



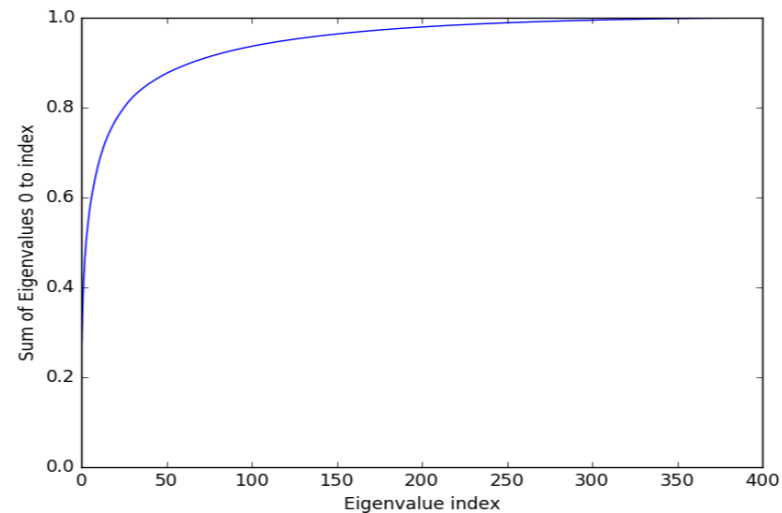
First 100 Eigenvectors of the covariance matrix



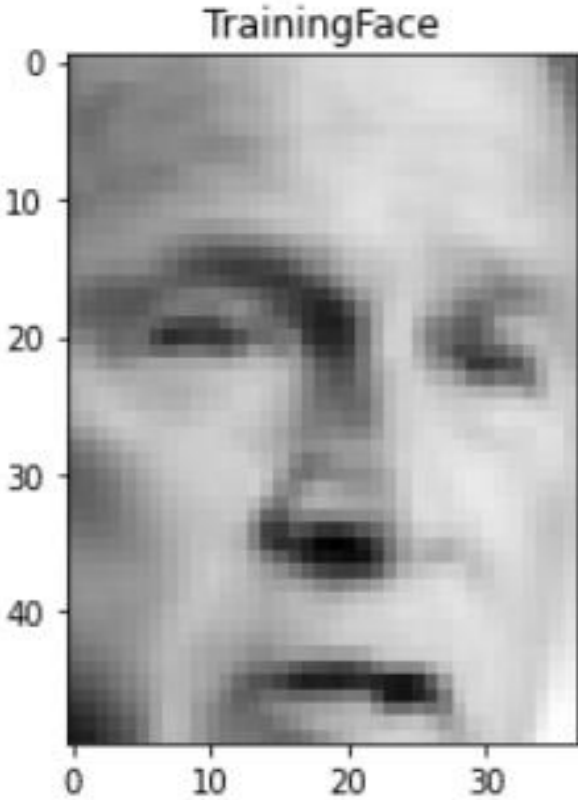
First 100 Face images reconstructed from 50 principal components



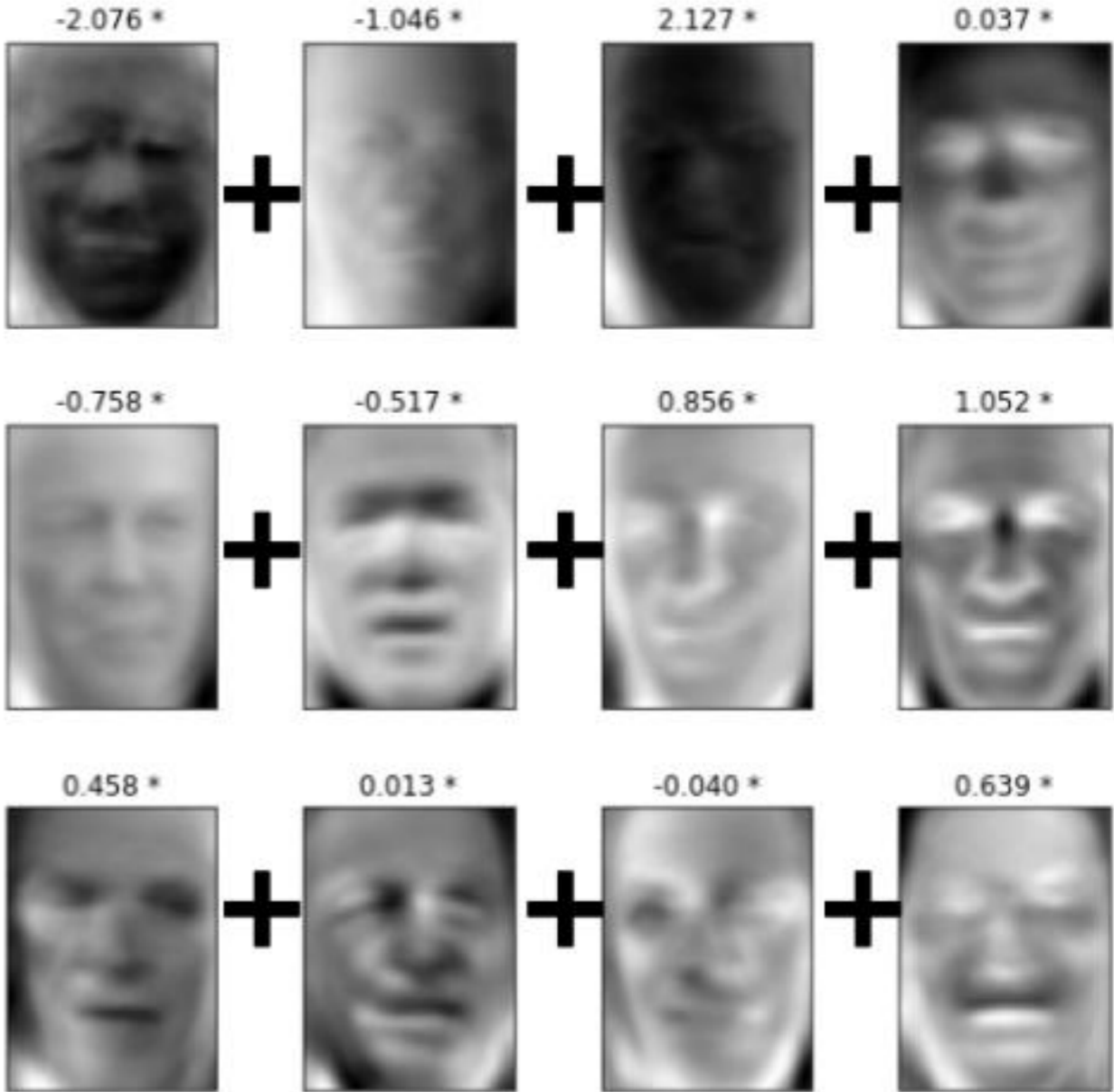
Cumulative sum of Eigenvalues



Eigenfaces



=



Ортогональные преобразования

Метод главных компонент в непрерывном случае. Преобразование Карунена-Лоэва.

Пусть $\mathbf{f}(x)$ – случайный процесс в X .

$$\mathbf{f}(x) = \sum_{i=1}^{\infty} z_i \boldsymbol{\varphi}_i(x), \quad x_1 \leq x \leq x_2$$

Базисные функции детерминированы и ортогональны

$$\int_{x_1}^{x_2} \boldsymbol{\varphi}_i(x) \boldsymbol{\varphi}_j^*(x) dx = \delta_{ij}$$

$$z_i = \int_{x_1}^{x_2} \mathbf{f}(x) \boldsymbol{\varphi}_i^*(x) dx$$

Пусть $M\{\mathbf{f}(x)\} = \mathbf{0}$: $R(x, \tau) = M\{\mathbf{f}(x) \mathbf{f}^*(\tau)\} = M\left\{ \sum_{j=1}^{\infty} z_j \boldsymbol{\varphi}_j(x) \left[\sum_{i=1}^{\infty} z_i \boldsymbol{\varphi}_i(\tau) \right]^* \right\} = \sum_{j=1}^{\infty} \sum_{i=1}^{\infty} \boldsymbol{\varphi}_j(x) \boldsymbol{\varphi}_i^*(\tau) M\{z_j z_i^*\}$

Пусть $M\{z_j z_i^*\} = \lambda_j$ при $j = i$ иначе 0:

$$R(x, \tau) = \sum_{j=1}^{\infty} \lambda_j \boldsymbol{\varphi}_j(x) \boldsymbol{\varphi}_j^*(\tau)$$

Ортогональные преобразования

Метод главных компонент в непрерывном случае. Преобразование Карунена-Лоэва.

Пусть $\mathbf{f}(x)$ – случайный процесс в X .

$$\mathbf{f}(x) = \sum_{i=1}^{\infty} z_i \boldsymbol{\varphi}_i(x), \quad x_1 \leq x \leq x_2$$

Базисные функции детерминированы и ортогональны

$$\int_{x_1}^{x_2} \boldsymbol{\varphi}_i(x) \boldsymbol{\varphi}_j^*(x) dx = \delta_{ij}$$

$$z_i = \int_{x_1}^{x_2} \mathbf{f}(x) \boldsymbol{\varphi}_i^*(x) dx - \text{случайные коэффициенты.}$$

Пусть $M\{\mathbf{f}(x)\} = \mathbf{0}$: $R(x, \tau) = M\{\mathbf{f}(x) \mathbf{f}^*(\tau)\} = M\left\{ \sum_{j=1}^{\infty} z_j \boldsymbol{\varphi}_j(x) \left[\sum_{i=1}^{\infty} z_i \boldsymbol{\varphi}_i(\tau) \right]^* \right\} = \sum_{j=1}^{\infty} \sum_{i=1}^{\infty} \boldsymbol{\varphi}_j(x) \boldsymbol{\varphi}_i^*(\tau) M\{z_j z_i^*\}$

Пусть $M\{z_j z_i^*\} = \lambda_j$ при $j = i$ иначе 0:

$$R(x, \tau) = \sum_{j=1}^{\infty} \lambda_j \boldsymbol{\varphi}_j(x) \boldsymbol{\varphi}_j^*(\tau)$$

$$\int_{x_1}^{x_2} R(x, \tau) \boldsymbol{\varphi}_i(\tau) d\tau = \int_{x_1}^{x_2} \sum_{j=1}^{\infty} \lambda_j \boldsymbol{\varphi}_j(x) \boldsymbol{\varphi}_j^*(\tau) \boldsymbol{\varphi}_i(\tau) d\tau = \sum_{j=1}^{\infty} \lambda_j \boldsymbol{\varphi}_j(x) \int_{x_1}^{x_2} \boldsymbol{\varphi}_j^*(\tau) \boldsymbol{\varphi}_i(\tau) d\tau$$

$$\int_{x_1}^{x_2} R(x, \tau) \boldsymbol{\varphi}_i(\tau) d\tau = \lambda_i \boldsymbol{\varphi}_i(x)$$

$$\overline{e^2}(m) = M \left[\int_{x_1}^{x_2} \left(\mathbf{f}(x) - \sum_{i=1}^m z_i \boldsymbol{\varphi}_i(x) \right) \left(\mathbf{f}(x) - \sum_{i=1}^m z_i \boldsymbol{\varphi}_i(x) \right)^* dx \right] = M \left[\int_{x_1}^{x_2} \left(\sum_{i=m+1}^{\infty} z_i \boldsymbol{\varphi}_i(x) \right) \left(\sum_{i=m+1}^{\infty} z_i \boldsymbol{\varphi}_i(x) \right)^* dx \right] = \sum_{i=m+1}^{\infty} M\{z_i z_i^*\}$$

Ортогональные преобразования

Метод главных компонент в непрерывном случае. Преобразование Карунена-Лоэва.

$$\overline{e^2}(m) = \mathbf{M} \left[\int_{x_1}^{x_2} \left(\mathbf{f}(x) - \sum_{i=1}^m z_i \boldsymbol{\varphi}_i(x) \right) \left(\mathbf{f}(x) - \sum_{i=1}^m z_i \boldsymbol{\varphi}_i(x) \right)^* dx \right] = \mathbf{M} \left[\int_{x_1}^{x_2} \left(\sum_{i=m+1}^{\infty} z_i \boldsymbol{\varphi}_i(x) \right) \left(\sum_{i=m+1}^{\infty} z_i \boldsymbol{\varphi}_i(x) \right)^* dx \right] = \sum_{i=m+1}^{\infty} \mathbf{M} \{ z_i z_i^* \}$$
$$\mathbf{M} \{ z_i z_i^* \} = \int_{x_1}^{x_2} \int_{x_1}^{x_2} \mathbf{M} \{ \mathbf{f}(x) \mathbf{f}^*(\tau) \} \boldsymbol{\varphi}_i^*(x) \boldsymbol{\varphi}_i(\tau) dx d\tau = \int_{x_1}^{x_2} \int_{x_1}^{x_2} R(x, \tau) \boldsymbol{\varphi}_i^*(x) \boldsymbol{\varphi}_i(\tau) dx d\tau = \int_{x_1}^{x_2} \lambda_i \boldsymbol{\varphi}_i^*(x) \boldsymbol{\varphi}_i(x) dx = \lambda_i \quad \Rightarrow \overline{e^2}(m) = \sum_{i=m+1}^{\infty} \lambda_i$$

Ортогональные преобразования

Преобразование Карунена-Лоэва для изображения как реализации стационарного процесса

$$\overline{e^2}(m) = \mathbf{M} \left[\int_{x_1}^{x_2} \left(\mathbf{f}(x) - \sum_{i=1}^m z_i \boldsymbol{\varphi}_i(x) \right) \left(\mathbf{f}(x) - \sum_{i=1}^m z_i \boldsymbol{\varphi}_i(x) \right)^* dx \right] = \mathbf{M} \left[\int_{x_1}^{x_2} \left(\sum_{i=m+1}^{\infty} z_i \boldsymbol{\varphi}_i(x) \right) \left(\sum_{i=m+1}^{\infty} z_i \boldsymbol{\varphi}_i(x) \right)^* dx \right] = \sum_{i=m+1}^{\infty} \mathbf{M} \{ z_i z_i^* \}$$

$$\mathbf{M} \{ z_i z_i^* \} = \int_{x_1}^{x_2} \int_{x_1}^{x_2} \mathbf{M} \{ \mathbf{f}(x) \mathbf{f}^*(\tau) \} \boldsymbol{\varphi}_i^*(x) \boldsymbol{\varphi}_i(\tau) dx d\tau = \int_{x_1}^{x_2} \int_{x_1}^{x_2} R(x, \tau) \boldsymbol{\varphi}_i^*(x) \boldsymbol{\varphi}_i(\tau) dx d\tau = \int_{x_1}^{x_2} \lambda_i \boldsymbol{\varphi}_i^*(x) \boldsymbol{\varphi}_i(x) dx = \lambda_i \quad \Rightarrow \overline{e^2}(m) = \sum_{i=m+1}^{\infty} \lambda_i$$

Пусть $\mathbf{f}(x)$ - стационарный процесс (в широком смысле): $m_{\mathbf{f}}(x) = m_{\mathbf{f}} = \text{const}$,

$$R(x, \tau) = R(x - \tau)$$

$$\int_{-T/2}^{T/2} R(x - \tau) \boldsymbol{\varphi}_i(\tau) d\tau = \lambda_i \boldsymbol{\varphi}_i(x), \quad -T/2 \leq x \leq T/2$$

1. Случай $T \rightarrow \infty$:

$$\int_{-\infty}^{\infty} R(x - \tau) \boldsymbol{\varphi}_i(\tau) d\tau = \lambda_i \boldsymbol{\varphi}_i(x), \quad -\infty \leq x \leq \infty \quad \text{- интеграл свертки}$$

По теореме о свертке: $\Rightarrow \mathcal{F}_R(\omega) \Phi_i(j\omega) = \lambda_i \Phi_i(j\omega)$, $\mathcal{F}_R(\omega)$ – спектр мощности

выполняется при:

$$\Phi_i(j\omega) = \delta(\omega - \omega_i) \Rightarrow \boldsymbol{\varphi}_i(x) = \exp(j\omega_i x)$$

$$\Rightarrow \mathcal{F}_R(\omega) = \lambda_i$$

Преобразование Карунена-Лоэва \rightarrow Преобразование Фурье

$$z_i = \int_{-\infty}^{\infty} \mathbf{f}(x) \boldsymbol{\varphi}_j^*(x) dx = \int_{-\infty}^{\infty} \mathbf{f}(x) \exp(-j\omega_i x) dx$$

Ортогональные преобразования

Преобразование Карунена-Лоэва для изображения как реализации стационарного процесса

2. Случай T - конечно, нижняя частота равна: $\omega_0 = 2\pi/T$

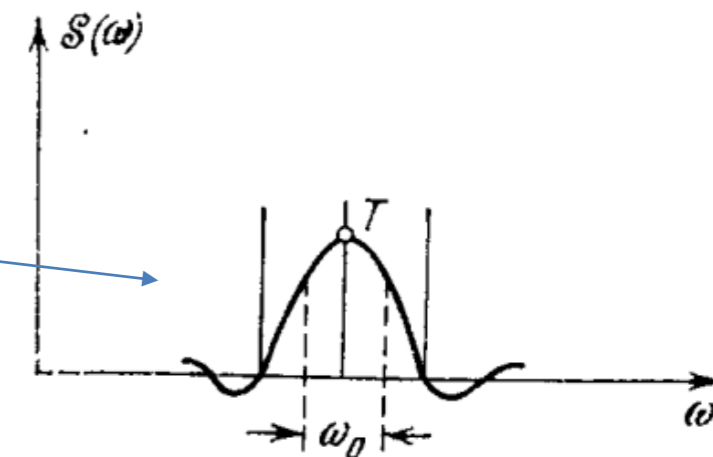
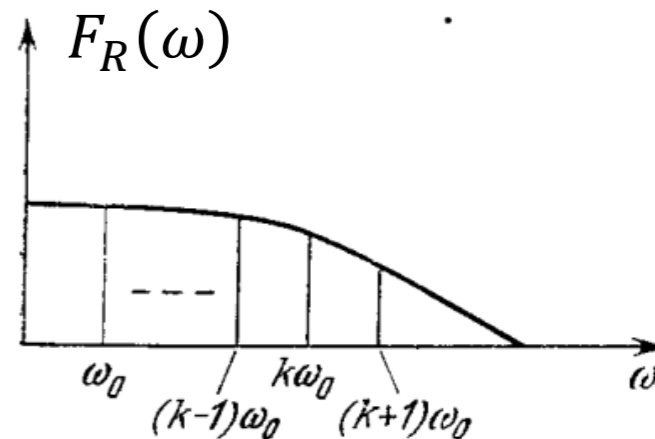
Пусть: $\phi_k(x) \cong \exp(jk\omega_0 x)$, $k = 1, 2, \dots$

$$R(x-\tau) = \frac{1}{2\pi} \int_{-\infty}^{\infty} \mathcal{F}_R(\omega) \exp(-j\omega(x-\tau)) d\omega$$

$$\Rightarrow \lambda_k \phi_k(x) = \int_{-1/T}^{1/T} R(x-\tau) \phi_k(\tau) d\tau = \frac{1}{2\pi} \int_{-\infty}^{\infty} \mathcal{F}_R(\omega) \int_{-1/T}^{1/T} \exp(-j\omega(x-\tau)) \exp(jk\omega_0 \tau) d\tau d\omega =$$

$$= \frac{1}{2\pi} \int_{-\infty}^{\infty} \mathcal{F}_R(\omega) \exp(j\omega x) T \left\{ \frac{\sin \left\{ \left[\frac{(k\omega_0 - \omega)}{2} \right] T \right\}}{\left[\frac{(k\omega_0 - \omega)}{2} \right] T} \right\} d\omega$$

Оконная (выборочная) функция



Пусть $F_R(\omega) \exp(j\omega x)$ - слабо меняется между $(k-1)\omega_0$ и $(k+1)\omega_0$:

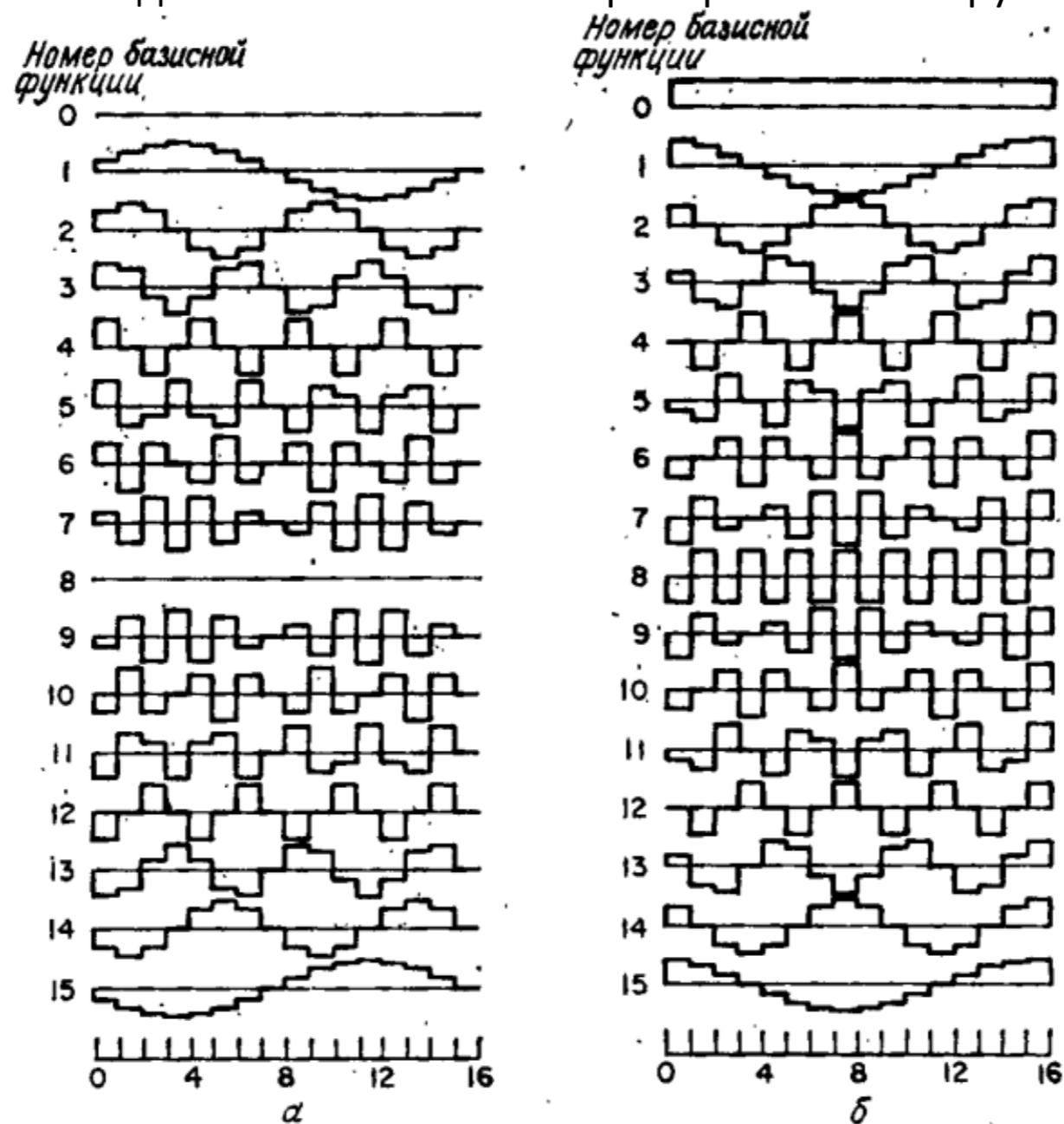
$$\lambda_k \phi_k(x) \cong \mathcal{F}_R(k\omega_0) \exp(jk\omega_0 x) \frac{1}{2\pi} \int_{-\infty}^{\infty} T \left\{ \frac{\sin \left\{ \left[\frac{(k\omega_0 - \omega)}{2} \right] T \right\}}{\left[\frac{(k\omega_0 - \omega)}{2} \right] T} \right\} d\omega = \mathcal{F}_R(k\omega_0) \exp(jk\omega_0 x)$$

$\Rightarrow \lambda_k \cong \mathcal{F}_R(k\omega_0)$ - отсчеты спектральной функции

Преобразование Карунена-Лоэва \rightarrow Преобразование Фурье $\varepsilon_i = \int_{-1/T}^{1/T} \mathbf{f}(x) \phi_i^*(x) dx = \int_{-1/T}^{1/T} \mathbf{f}(x) \exp(-jk\omega_0 x) dx$

Ортогональные преобразования

Метод главных компонент. Преобразование Карунена-Лоэва



Базисные функции преобразования Фурье.

Аппроксимация преобразования Карунена-Лоэва для марковского процесса

Для марковского процесса первого порядка автокорреляционная функция и энергетический спектр:

$$R(\tau_x, \tau_y) = \sigma_s^2 \exp\left\{-\sqrt{\alpha_x^2 \tau_x^2 + \alpha_y^2 \tau_y^2}\right\}$$

$$\mathcal{F}_R(\omega_x, \omega_y) = \frac{1}{\alpha_x \alpha_y} \frac{2\sigma_s^2}{1 + (\omega_x^2/\alpha_x^2 + \omega_y^2/\alpha_y^2)}$$

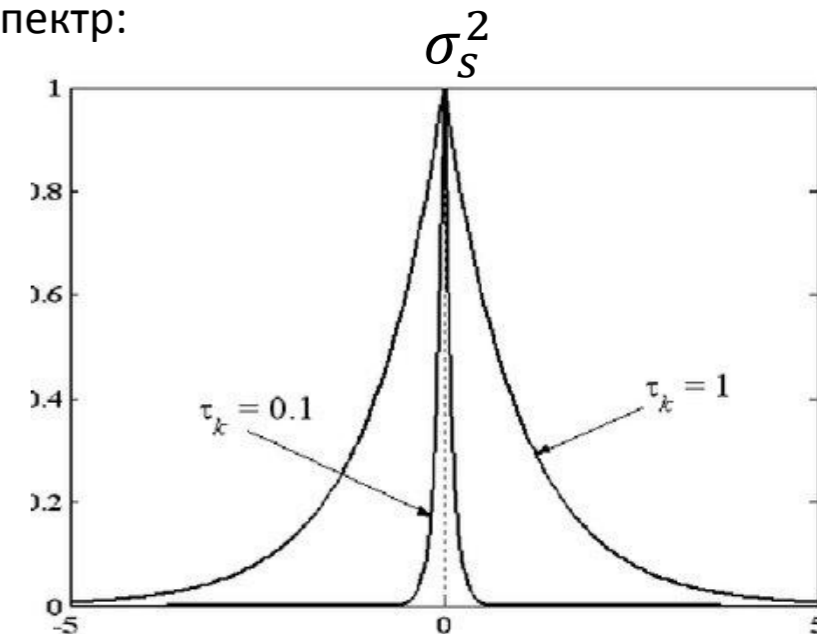
$$\lambda_k \cong \mathcal{F}_R(k\omega_0)$$

Разделимое представление:

$$R(\tau_x, \tau_y) = \sigma_s^2 \exp\{-\alpha_x |\tau_x| - \alpha_y |\tau_y|\}$$

$$\mathcal{F}_R(\omega_x, \omega_y) = \frac{4\alpha_x \alpha_y \sigma_s^2}{(\alpha_x^2 + \omega_x^2)(\alpha_y^2 + \omega_y^2)}$$

$\tau_k = 1/\alpha$ — интервал корреляции.



Марковский процесс первого порядка можно сформировать рекуррентной формулой:

$$F(j+1, k+1) = \rho_1 F(j+1, k) + \rho_2 F(j, k+1) - \rho_1 \rho_2 F(j, k) + \sqrt{(1-\rho_1^2)(1-\rho_2^2)} u(j, k)$$

где ρ_1 и ρ_2 — коэффициенты корреляции между горизонтальными и вертикальными соседними элементами изображения соответственно, $u(j, k)$ — некоррелированное случайное поле, дисперсия которого равна дисперсии элементов изображения.

Трех диагональная автокорреляционная матрица Марковского процесса первого порядка:

$$\mathbf{Q} = \begin{bmatrix} 1 & -\alpha & 0 & \dots & 0 \\ -\alpha & 1 & -\alpha & & \vdots \\ \vdots & & & & \vdots \\ \vdots & & & -\alpha & 1 & -\alpha \\ 0 & \dots & \dots & 0 & -\alpha & 1 \end{bmatrix},$$

где $\alpha = \rho / (1 + \rho^2)$, причем $0 \leq \rho \leq 1$ — коэффициент корреляции соседних элементов марковского процесса.

Ортогональные преобразования

Для марковского процесса первого порядка с автокорреляционной матрицей \mathbf{Q} :

$$\mathbf{AQA}^T = \mathbf{D}$$

где \mathbf{D} — диагональная матрица, составленная из элементов

$$D(k, k) = \frac{1 - \rho^2}{1 - 2\rho \cos [k\pi/(N + 1)] + \rho^2}$$

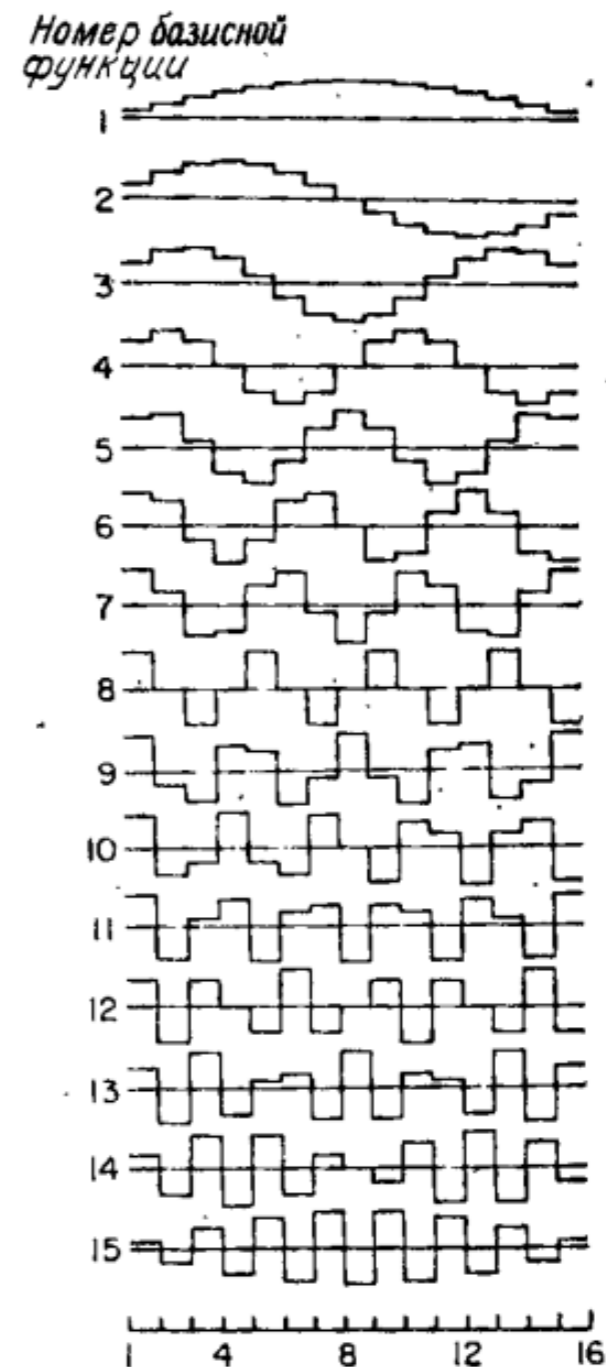
при $k = 1, 2, \dots, N$.

Матрица \mathbf{A} составлена из базисных функций вида:

$$A(u, j) = \sqrt{\frac{2}{N+1}} \sin \left[\frac{(j+1)(u+1)\pi}{N+1} \right]$$

Аппроксимация преобразования Карунена-Лоэва для марковского процесса первого порядка → **Синусное преобразование**

$$\mathcal{F}(u, v) = \frac{2}{N+1} \sum_{j=0}^{N-1} \sum_{k=0}^{N-1} F(j, k) \sin \left[\frac{(j+1)(u+1)\pi}{N+1} \right] \times \sin \left[\frac{(k+1)(v+1)\pi}{N+1} \right],$$



Ортогональные преобразования

Четное симметричное косинусное преобразование

$$F_s(j, k) = \begin{cases} F(j, k) & \text{при } j \geq 0, k \geq 0, \\ F(-1-j, k) & \text{при } j < 0, k \geq 0, \\ F(j, -1-k) & \text{при } j \geq 0, k < 0, \\ F(-1-j, -1-k) & \text{при } j < 0, k < 0. \end{cases}$$

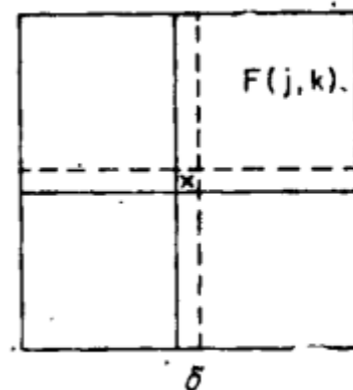
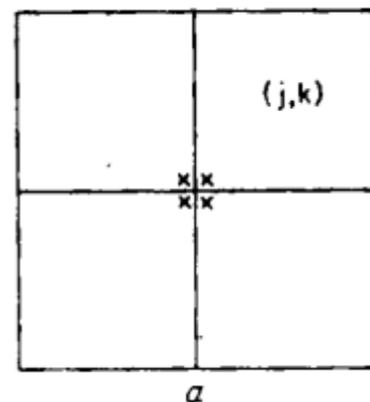
Преобразование Фурье \rightarrow Косинусное преобразование

$$\mathcal{F}_s(u, v) = \frac{2}{N} \sum_{j=0}^{N-1} \sum_{k=0}^{N-1} F(j, k) \cos \left[\frac{\pi}{N} u \left(j + \frac{1}{2} \right) \right] \cos \left[\frac{\pi}{N} v \left(k + \frac{1}{2} \right) \right].$$

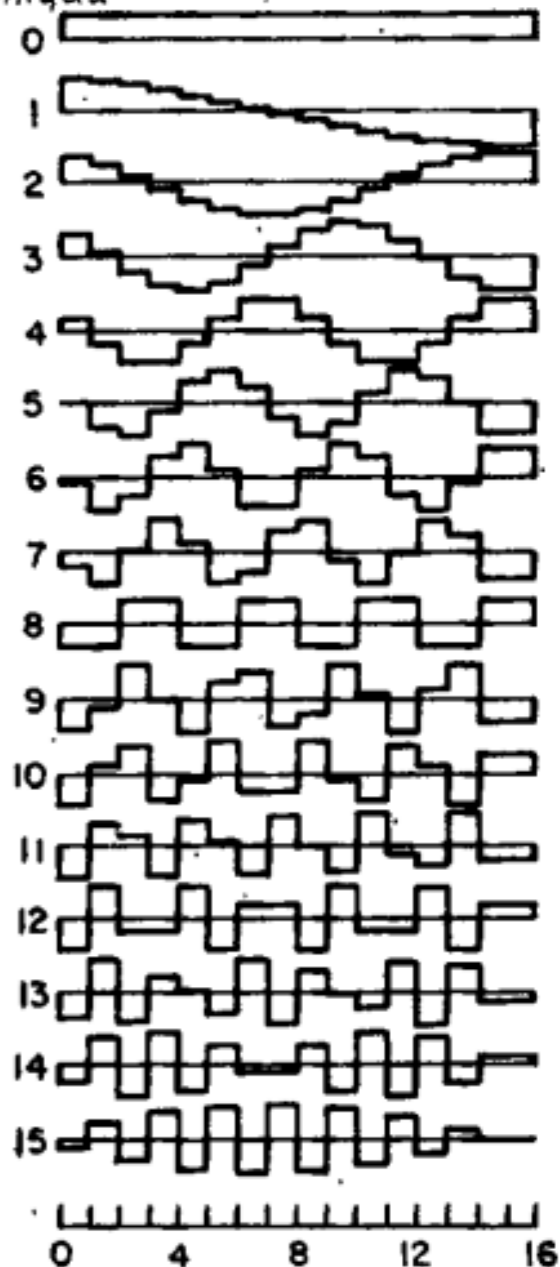
Нечетное симметричное косинусное преобразование

$$\tilde{F}_s(j, k) = \begin{cases} 1/4 F(j, k) & \text{при } j=0, k=0, \\ 1/2 F(j, k) & \text{при } j=0, k \neq 0, \\ 1/2 F(j, k) & \text{при } j \neq 0, k=0, \\ F(j, k) & \text{при } j \neq 0, k \neq 0. \end{cases} \quad F_s(j, k) = \begin{cases} F(j, k) & \text{при } j, k \geq 0, \\ F(-j, k) & \text{при } j < 0, k \geq 0, \\ F(j, -k) & \text{при } j \geq 0, k < 0, \\ F(-j, -k) & \text{при } j, k < 0. \end{cases}$$

$$\mathcal{F}_s(u, v) = \frac{4}{2N-1} \sum_{j=0}^{N-1} \sum_{k=0}^{N-1} \tilde{F}_s(j, k) \cos \left[\frac{2\pi}{2N-1} ju \right] \cos \left[\frac{2\pi}{2N-1} kv \right]$$



Номер
базисной
функции



Ортогональные преобразования

Преобразование Адамара

Нормированная матрица Адамара N -го порядка $\mathbf{H}_N \mathbf{H}_N^T = \mathbf{I}_N$

Матрицы для порядка $N = 2^n$

$$\mathbf{H}_2 = \frac{1}{\sqrt{2}} \begin{bmatrix} 1 & 1 \\ 1 & -1 \end{bmatrix}$$

$$\mathbf{H}_{2N} = \frac{1}{\sqrt{2}} \begin{bmatrix} \mathbf{H}_N & \mathbf{H}_N \\ \mathbf{H}_N & -\mathbf{H}_N \end{bmatrix}$$

$$\mathbf{H}_4 = \frac{1}{2} \begin{bmatrix} 1 & 1 & 1 & 1 \\ 1 & -1 & 1 & -1 \\ 1 & 1 & -1 & -1 \\ 1 & -1 & -1 & 1 \end{bmatrix}$$

$$\mathbf{H}_8 = \frac{1}{2\sqrt{2}} \begin{bmatrix} 1 & 1 & 1 & 1 & 1 & 1 & 1 & 1 \\ 1 & -1 & 1 & -1 & 1 & -1 & 1 & -1 \\ 1 & 1 & -1 & -1 & 1 & 1 & -1 & -1 \\ 1 & -1 & -1 & 1 & 1 & -1 & -1 & 1 \\ 1 & 1 & 1 & 1 & -1 & -1 & -1 & -1 \\ 1 & -1 & 1 & -1 & -1 & 1 & -1 & 1 \\ 1 & 1 & -1 & -1 & -1 & -1 & 1 & 1 \\ 1 & -1 & -1 & 1 & -1 & 1 & 1 & -1 \end{bmatrix}$$

Число
изменений
знака

0

3

1

2

Число
изменений
знака

0

7

3

4

1

6

2

5

Номер
базисной
функции

0

1

2

3

4

5

6

7

8

9

10

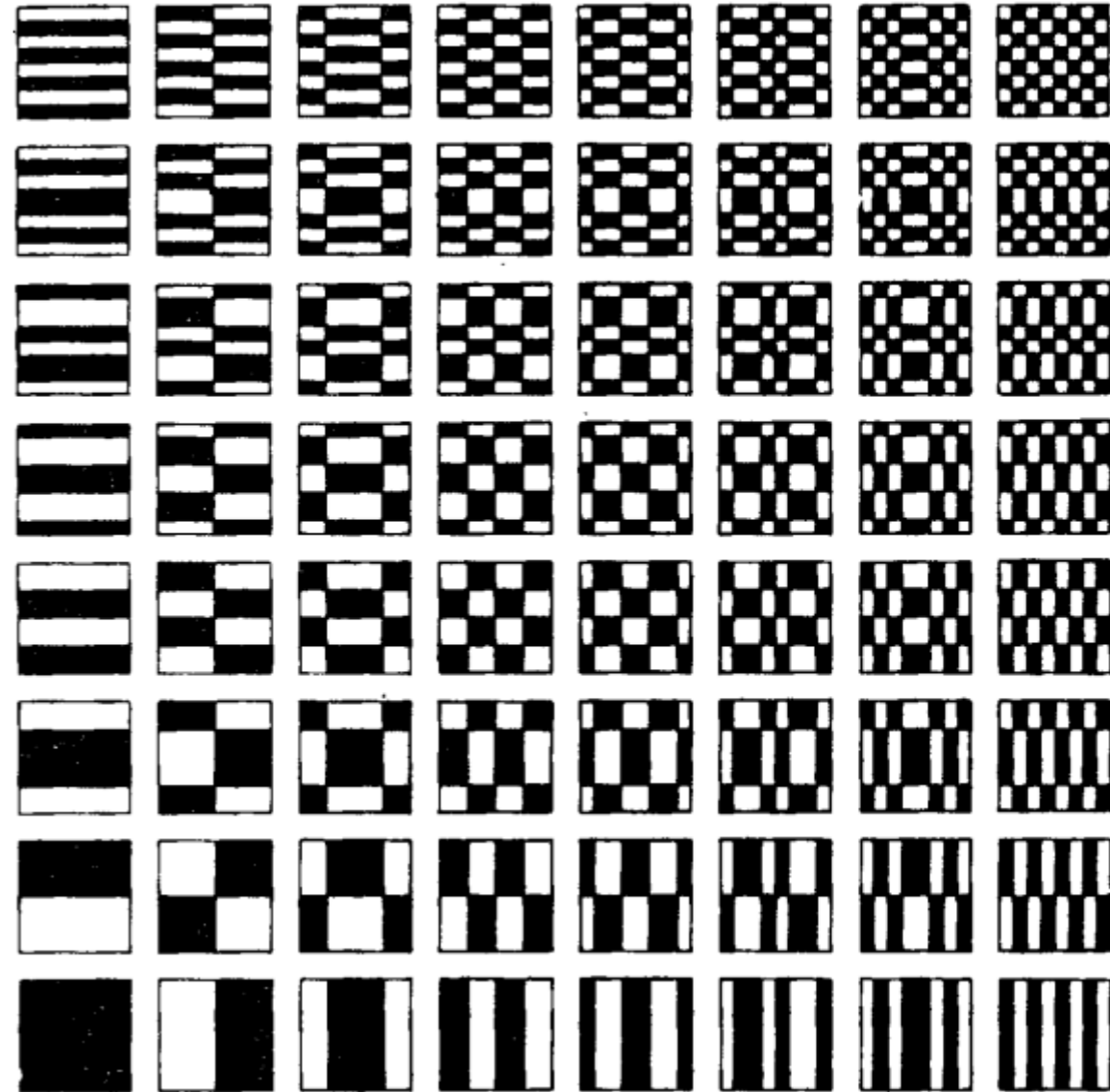
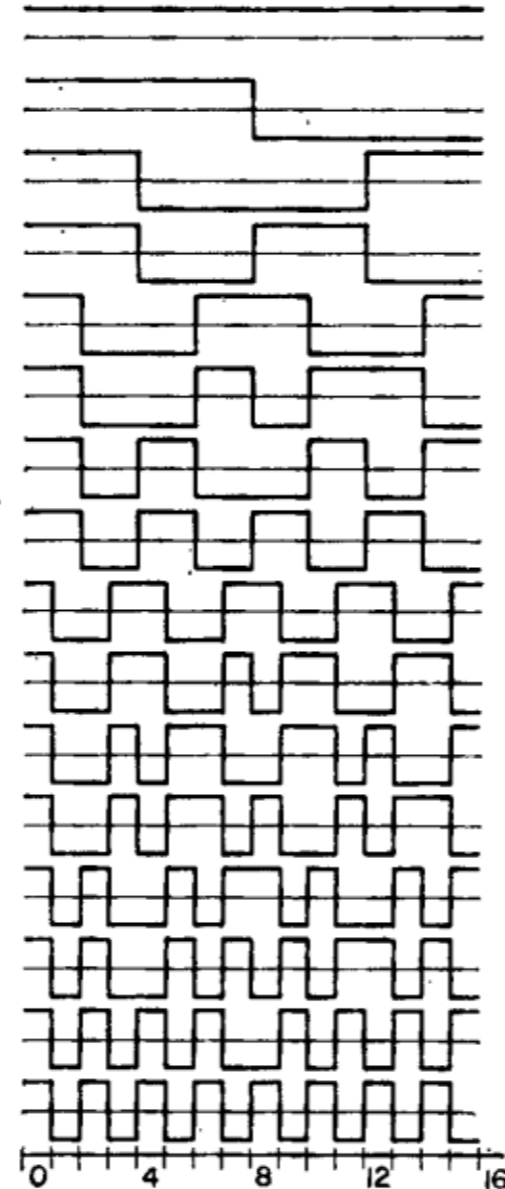
11

12

13

14

15



Ортогональные преобразования

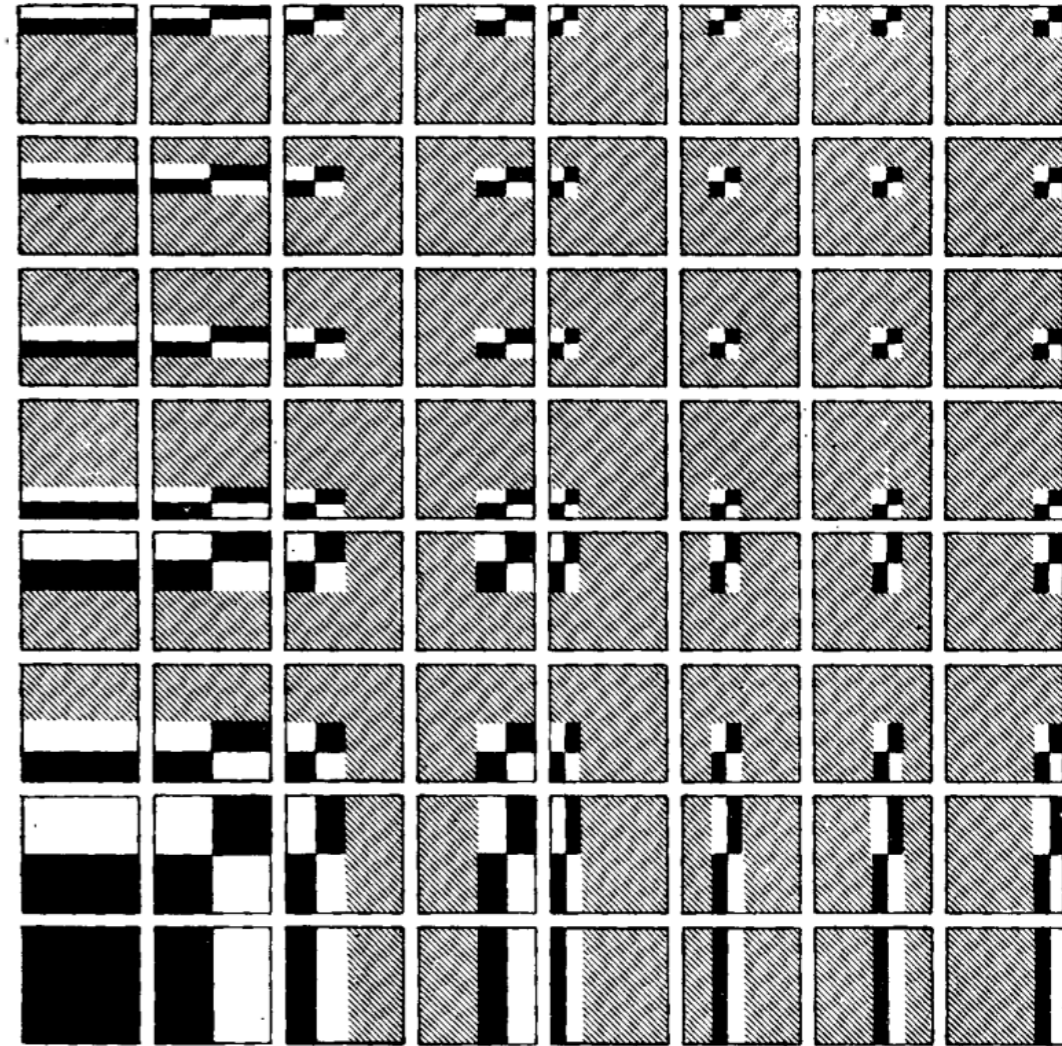
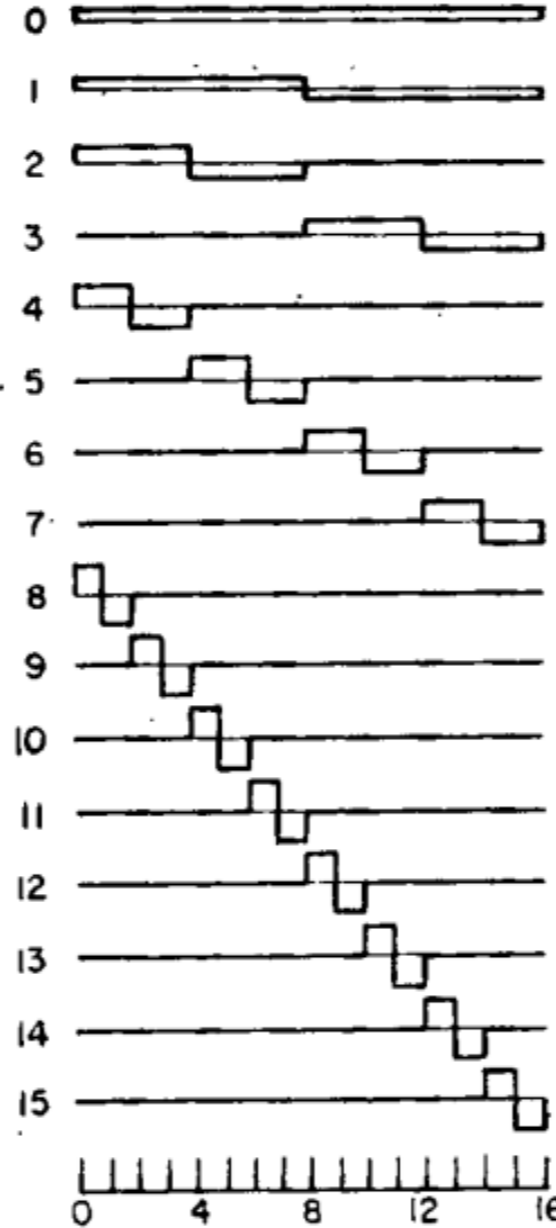
Преобразование Хаара

Матрицы для порядка

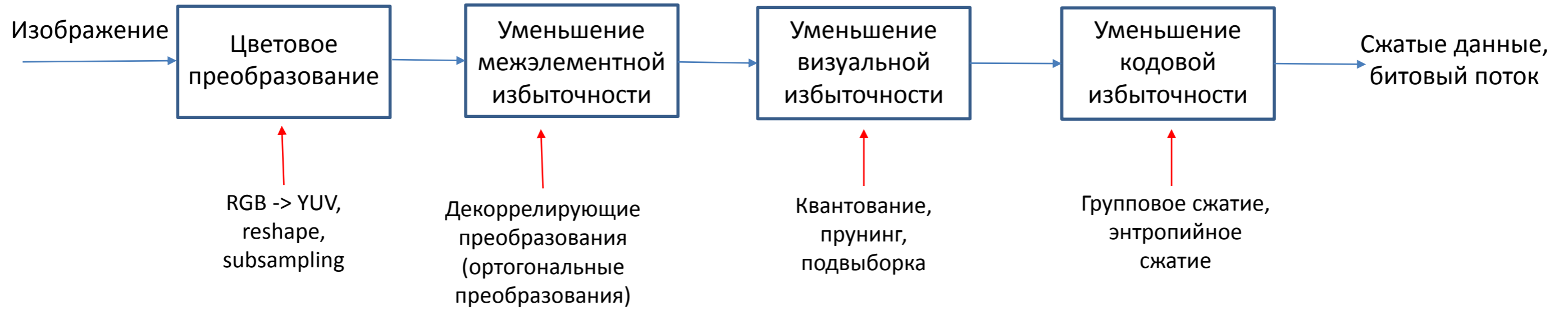
$$H_4 = \frac{1}{\sqrt{4}} \begin{bmatrix} 1 & 1 & 1 & 1 \\ 1 & 1 & -1 & -1 \\ \sqrt{2} & -\sqrt{2} & 0 & 0 \\ 0 & 0 & \sqrt{2} & -\sqrt{2} \end{bmatrix},$$

$$H_8 = \frac{1}{\sqrt{8}} \begin{bmatrix} 1 & 1 & 1 & 1 & 1 & 1 & 1 & 1 \\ 1 & 1 & 1 & 1 & -1 & -1 & -1 & -1 \\ \sqrt{2} & \sqrt{2} & -\sqrt{2} & -\sqrt{2} & 0 & 0 & 0 & 0 \\ 0 & 0 & 0 & 0 & \sqrt{2} & \sqrt{2} & -\sqrt{2} & -\sqrt{2} \\ 2 & -2 & 0 & 0 & 0 & 0 & 0 & 0 \\ 0 & 0 & 2 & -2 & 0 & 0 & 0 & 0 \\ 0 & 0 & 0 & 0 & 2 & -2 & 0 & 0 \\ 0 & 0 & 0 & 0 & 0 & 0 & 2 & -2 \end{bmatrix}$$

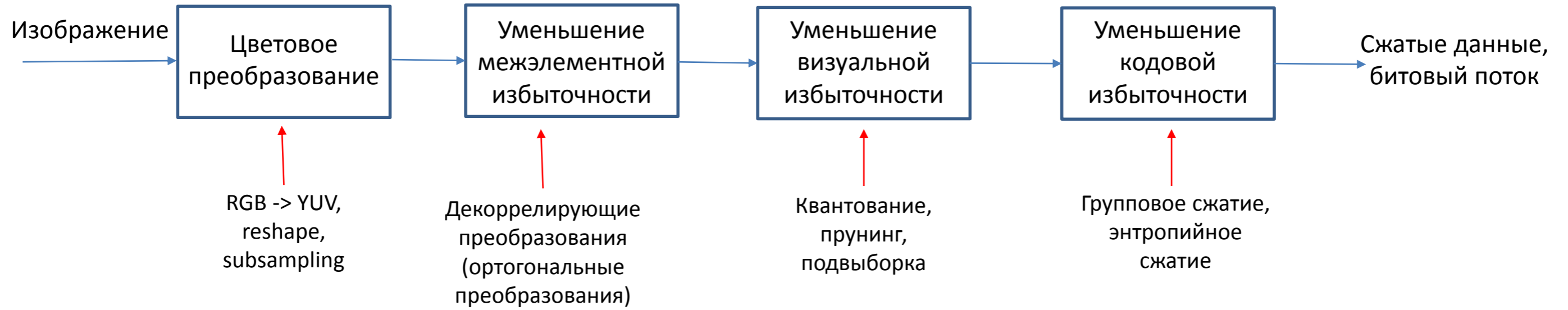
Номер
базисной
функции



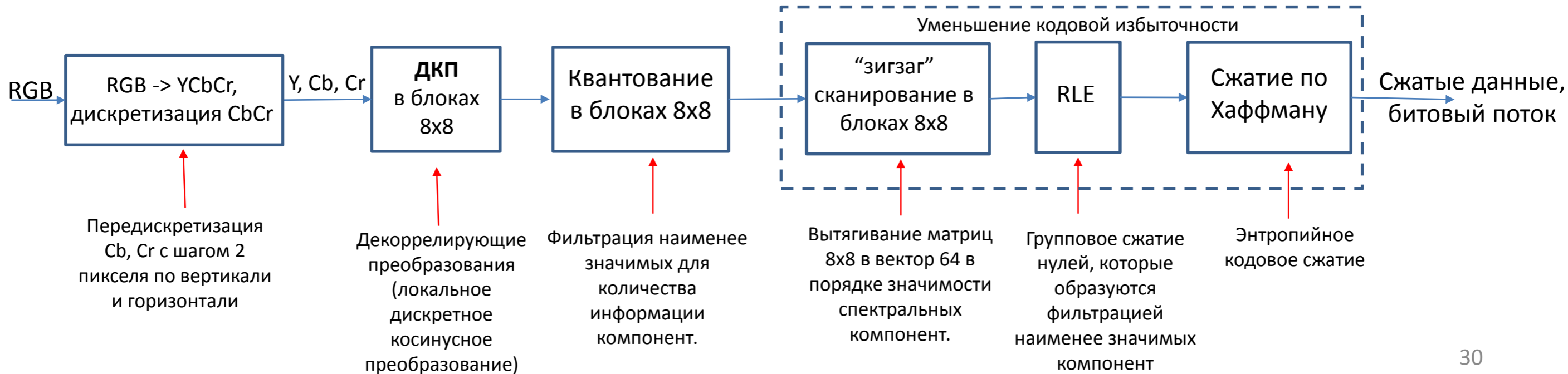
Подходы к сжатию и восстановлению изображения



Подходы к сжатию и восстановлению изображения

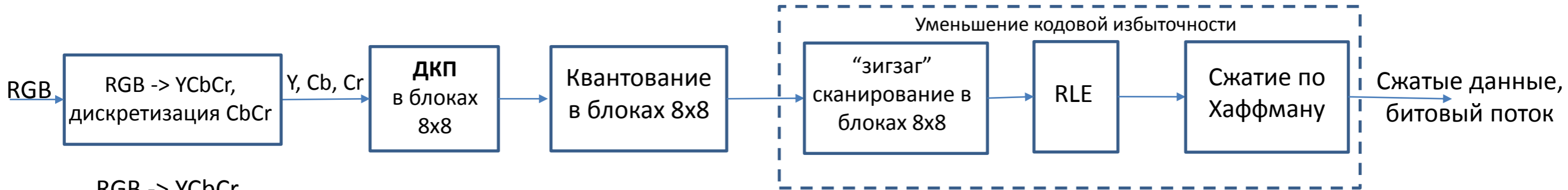


Алгоритм JPEG



Подходы к сжатию и восстановлению изображения

Элементы алгоритма JPEG



RGB -> YCbCr

$$\begin{pmatrix} Y \\ Cb \\ Cr \end{pmatrix} = \begin{pmatrix} 0.299 & 0.587 & 0.114 \\ 0.5 & -0.4187 & -0.0813 \\ 0.1687 & -0.3313 & 0.5 \end{pmatrix} * \begin{pmatrix} R \\ G \\ B \end{pmatrix} + \begin{pmatrix} 0 \\ 128 \\ 128 \end{pmatrix}$$

Передискретизация Cb, Cr с шагом 2 пикселя по вертикали и горизонтали

YCbCr -> RGB

$$\begin{pmatrix} R \\ G \\ B \end{pmatrix} = \begin{pmatrix} 1 & 0 & 1.402 \\ 1 & -0.34414 & -0.71414 \\ 1 & 1.772 & 0 \end{pmatrix} * \begin{pmatrix} Y \\ Cb \\ Cr \end{pmatrix} - \begin{pmatrix} 0 \\ 128 \\ 128 \end{pmatrix}$$

ДКП

$$Y[u, v] = \frac{1}{4} \sum_{i=0}^7 \sum_{j=0}^7 C(i, u) \times C(j, v) \times y[i, j],$$

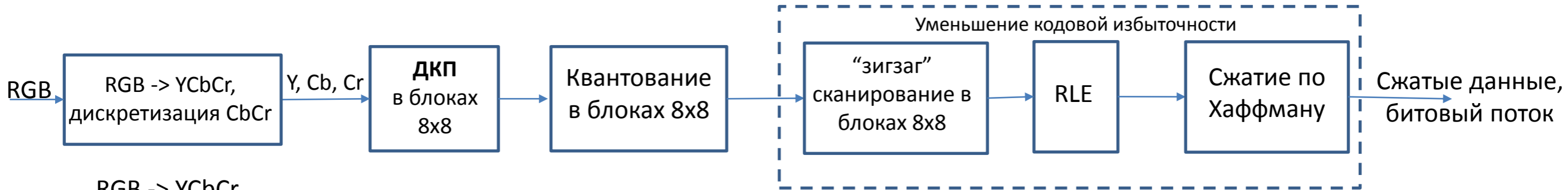
$$C(i, u) = A(u) \times \cos\left(\frac{(2 \times i + 1) \times u \times \pi}{2 \cdot n}\right)$$

$$A(u) = \begin{cases} \frac{1}{\sqrt{2}}, & \text{for } u \equiv 0, \\ 1, & \text{for } u \neq 0. \end{cases}$$

Декоррелирующие преобразования (локальное дискретное косинусное преобразование)

Подходы к сжатию и восстановлению изображения

Элементы алгоритма JPEG



RGB -> YCbCr

$$\begin{pmatrix} Y \\ Cb \\ Cr \end{pmatrix} = \begin{pmatrix} 0.299 & 0.587 & 0.114 \\ 0.5 & -0.4187 & -0.0813 \\ 0.1687 & -0.3313 & 0.5 \end{pmatrix} * \begin{pmatrix} R \\ G \\ B \end{pmatrix} + \begin{pmatrix} 0 \\ 128 \\ 128 \end{pmatrix}$$

YCbCr -> RGB

$$\begin{pmatrix} R \\ G \\ B \end{pmatrix} = \begin{pmatrix} 1 & 0 & 1.402 \\ 1 & -0.34414 & -0.71414 \\ 1 & 1.772 & 0 \end{pmatrix} * \begin{pmatrix} Y \\ Cb \\ Cr \end{pmatrix} - \begin{pmatrix} 0 \\ 128 \\ 128 \end{pmatrix}$$

ДКП

$$Y[u, v] = \frac{1}{4} \sum_{i=0}^7 \sum_{j=0}^7 C(i, u) \times C(j, v) \times y[i, j],$$

$$C(i, u) = A(u) \times \cos\left(\frac{(2 \times i + 1) \times u \times \pi}{2 \cdot n}\right)$$

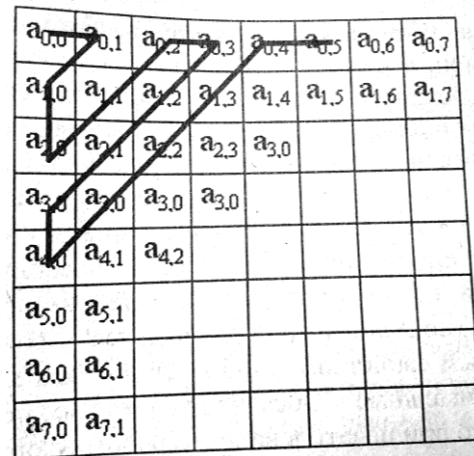
$$A(u) = \begin{cases} \frac{1}{\sqrt{2}}, & \text{for } u \equiv 0, \\ 1, & \text{for } u \neq 0. \end{cases}$$

Квантование

$$Yq[u, v] = \text{IntegerRound} \left(\frac{Y[u, v]}{q[u, v]} \right)$$

Фильтрация наименее значимых для количества информации компонент.

“зигзаг” сканирование



Вытягивание матриц 8x8 в вектор 64 в порядке значимости спектральных компонент.

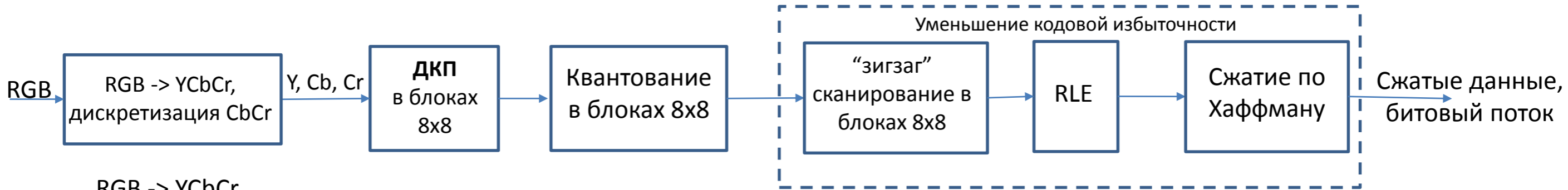
Zero run-length encoding, RLE

(zero_num, next_value), (zero_num, next_value), ...
00000004008 -> (7,4), (2,8)

Групповое сжатие нулей, которые образуются фильтрацией наименее значимых компонент

Подходы к сжатию и восстановлению изображения

Элементы алгоритма JPEG



RGB -> YCbCr

$$\begin{pmatrix} Y \\ Cb \\ Cr \end{pmatrix} = \begin{pmatrix} 0.299 & 0.587 & 0.114 \\ 0.5 & -0.4187 & -0.0813 \\ 0.1687 & -0.3313 & 0.5 \end{pmatrix} * \begin{pmatrix} R \\ G \\ B \end{pmatrix} + \begin{pmatrix} 0 \\ 128 \\ 128 \end{pmatrix}$$

YCbCr -> RGB

$$\begin{pmatrix} R \\ G \\ B \end{pmatrix} = \begin{pmatrix} 1 & 0 & 1.402 \\ 1 & -0.34414 & -0.71414 \\ 1 & 1.772 & 0 \end{pmatrix} * \begin{pmatrix} Y \\ Cb \\ Cr \end{pmatrix} + \begin{pmatrix} 0 \\ 128 \\ 128 \end{pmatrix}$$

ДКП

$$Y[u, v] = \frac{1}{4} \sum_{i=0}^7 \sum_{j=0}^7 C(i, u) \times C(j, v) \times y[i, j],$$

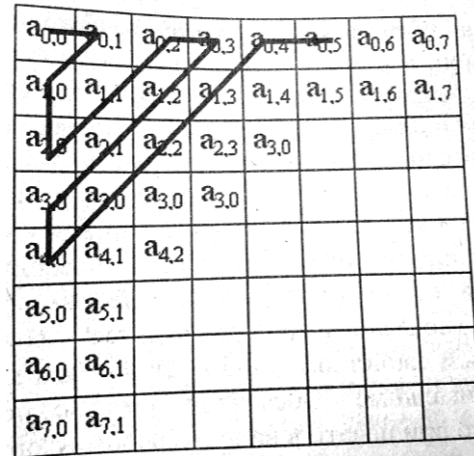
$$C(i, u) = A(u) \times \cos\left(\frac{(2 \times i + 1) \times u \times \pi}{2 \cdot n}\right)$$

$$A(u) = \begin{cases} \frac{1}{\sqrt{2}}, & \text{for } u \equiv 0, \\ 1, & \text{for } u \neq 0. \end{cases}$$

Квантование

$$Yq[u, v] = \text{IntegerRound} \left(\frac{Y[u, v]}{q[u, v]} \right)$$

“зигзаг” сканирование



Zero run-length encoding, RLE

(zero_num, next_value), (zero_num, next_value), ...
00000004008 -> (7,4), (2,8)

Энтропийное сжатие по Хаффману



A source generates 4 different symbols $\{a_1, a_2, a_3, a_4\}$ with probability $\{0.4; 0.35; 0.2; 0.05\}$

Symbol	Code
a1	0
a2	10
a3	110
a4	111

